

Animation

Crédits :

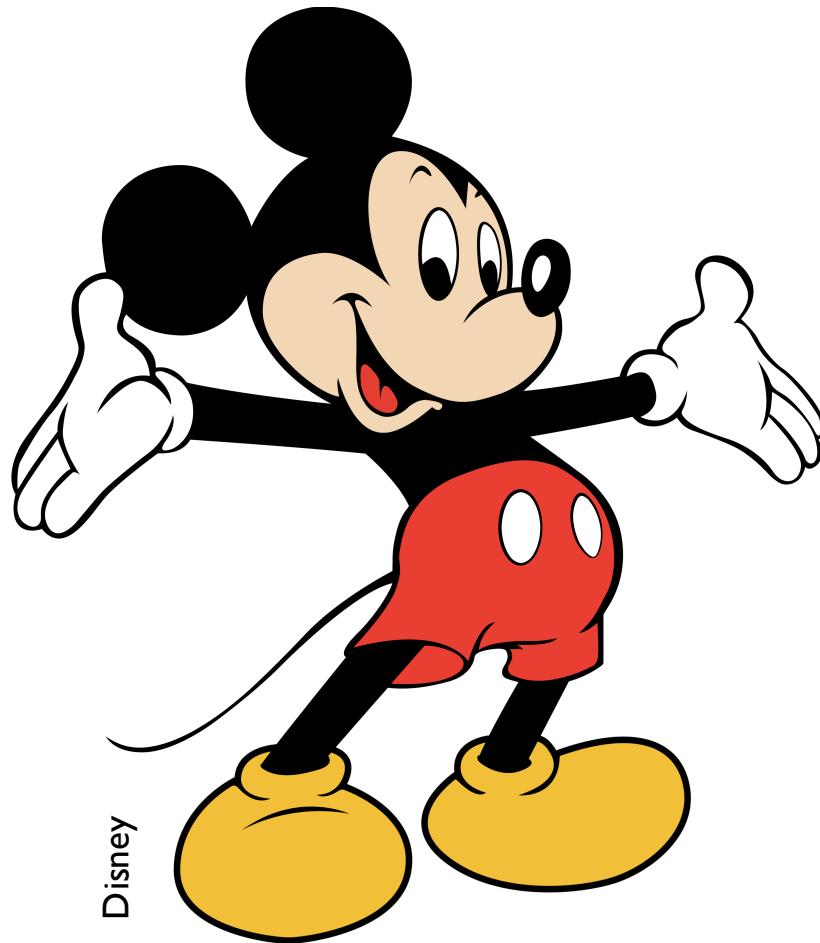
Estelle Duveau, Marie-Paule Cani, Lionel Revert, François Faure,
Ravi Ramamoorthi, Ronen Barzel

Plan

1. **Introduction**
2. Cinématique
3. Déformation de surfaces

Double héritage

Dessin animé

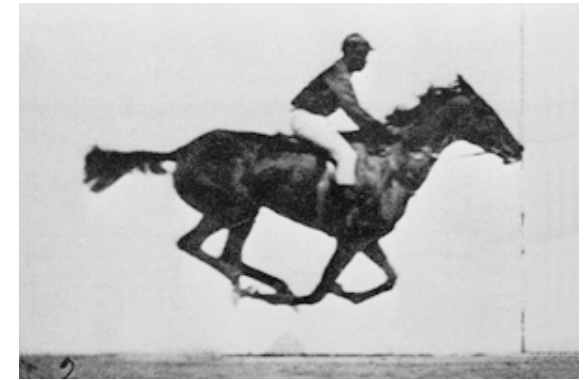
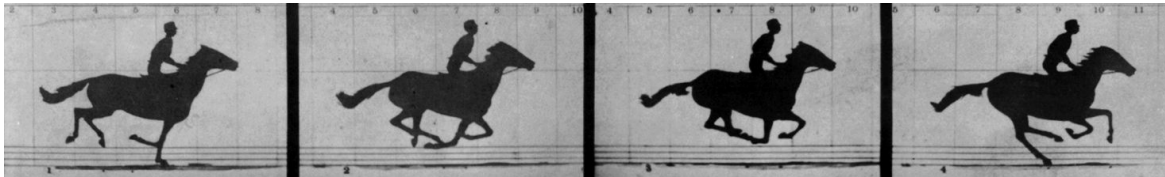


Robotique

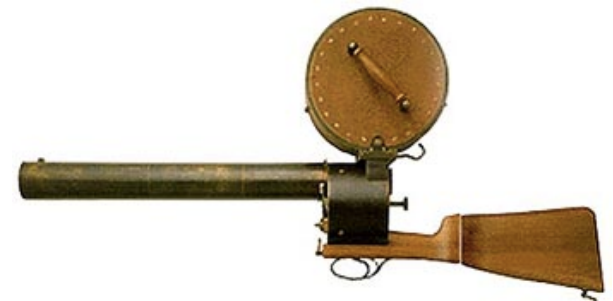


Origines de la cinématique

Eadweard Muybridge (1830-1904)



Etienne-Jules Marey (1830-1904)



fusil photographique

Phénakistiscope (1831)



Muybridge, 1839

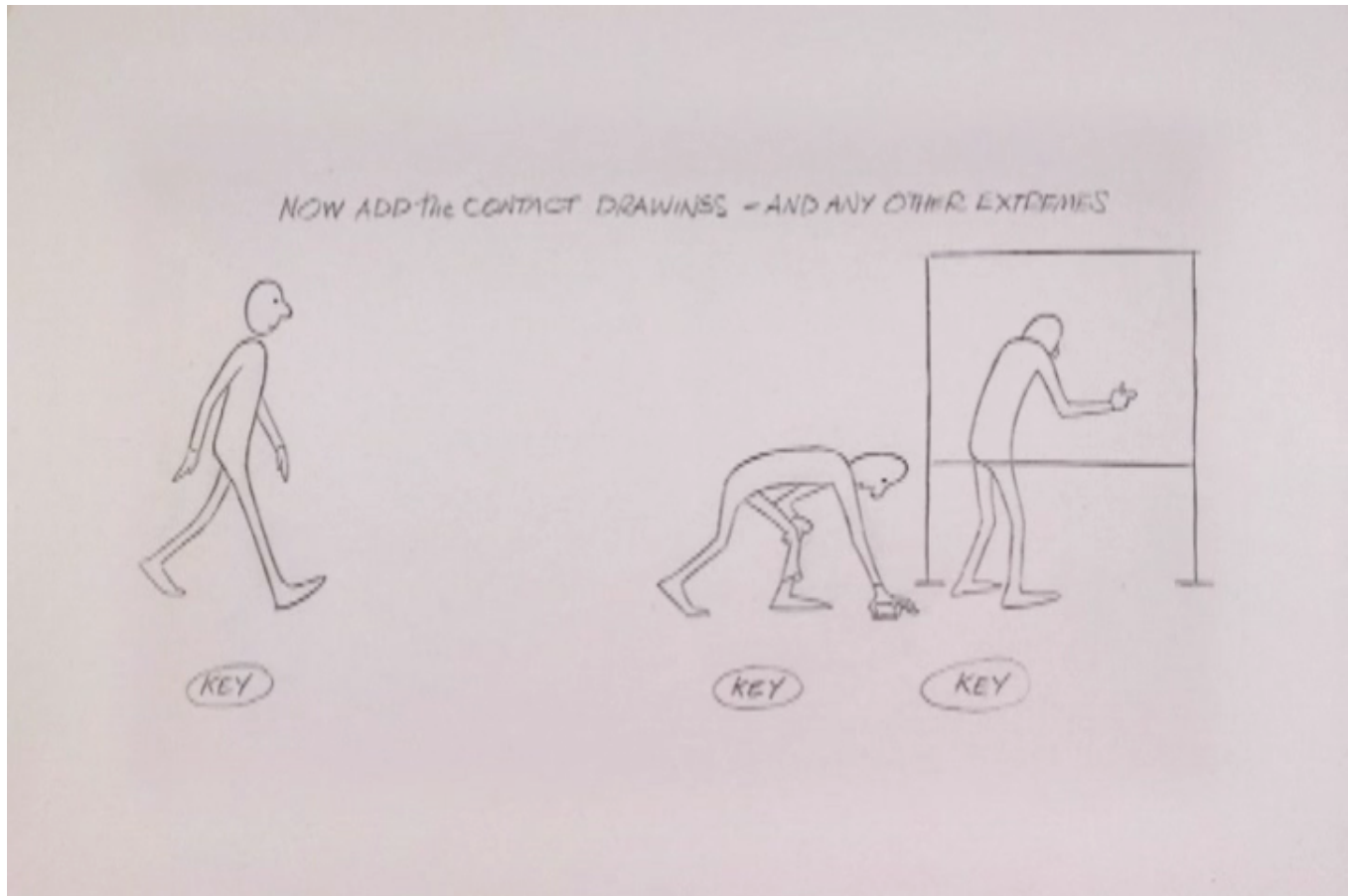
Gertie le dinosaure (1914)

Windsor McCay (1869-1934)



1^{er} dessin animé par **image clés**

Animation par images clés



Richard Williams, *The Animator's Survival Kit*

Animation sur celluloïd (1915)

J.R. Bray & Earl Hurd
(1879-1978) (1880-1940)

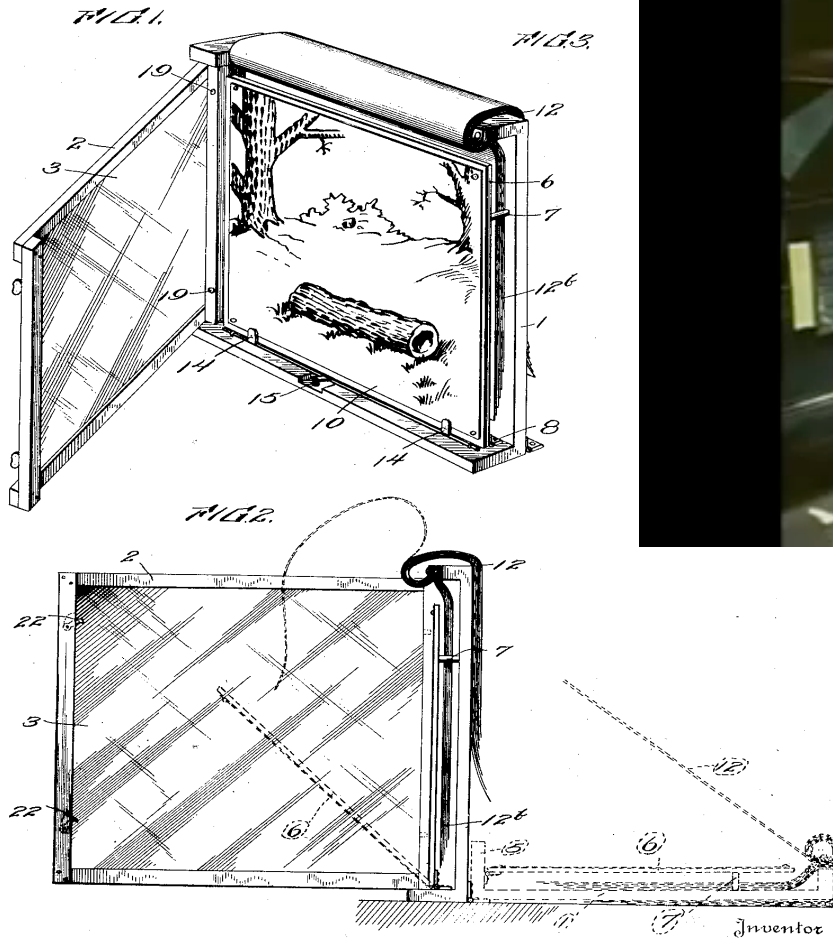


Photo by J-E Nyström, Helsinki, Finland

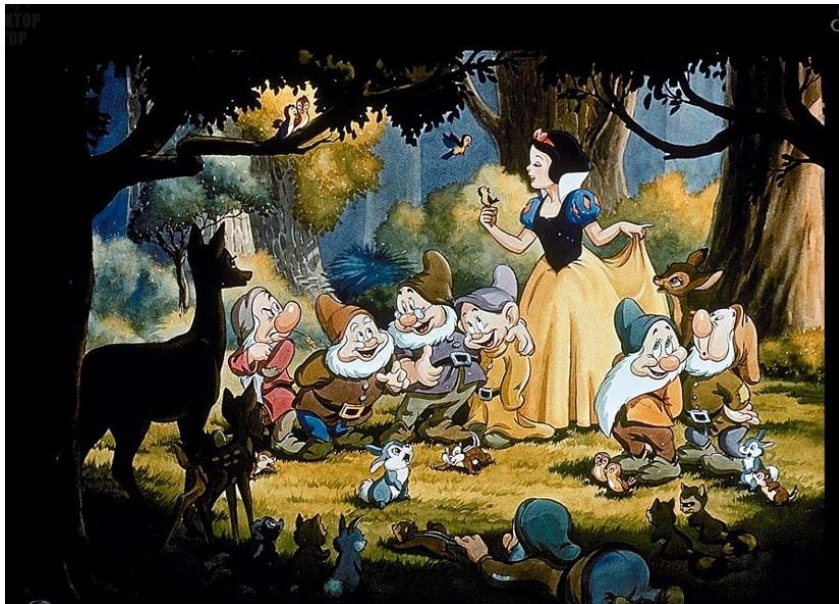
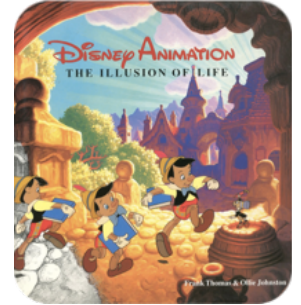
12 principes de Disney

1937 : premier long-métrage d'animation

« *Snow White and the Seven Dwarfs* »

Disney Studios, 1930s : 12 principes d'animation

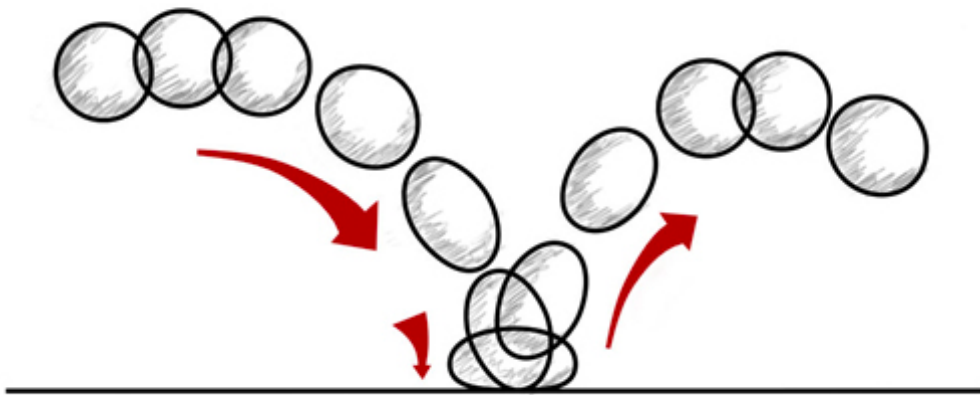
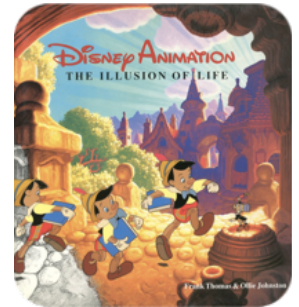
⇒ **toujours valables**



© Disney

I. Squash and stretch

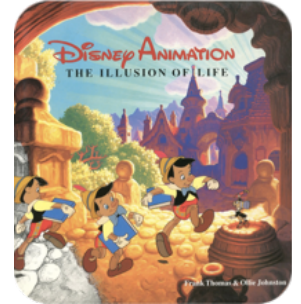
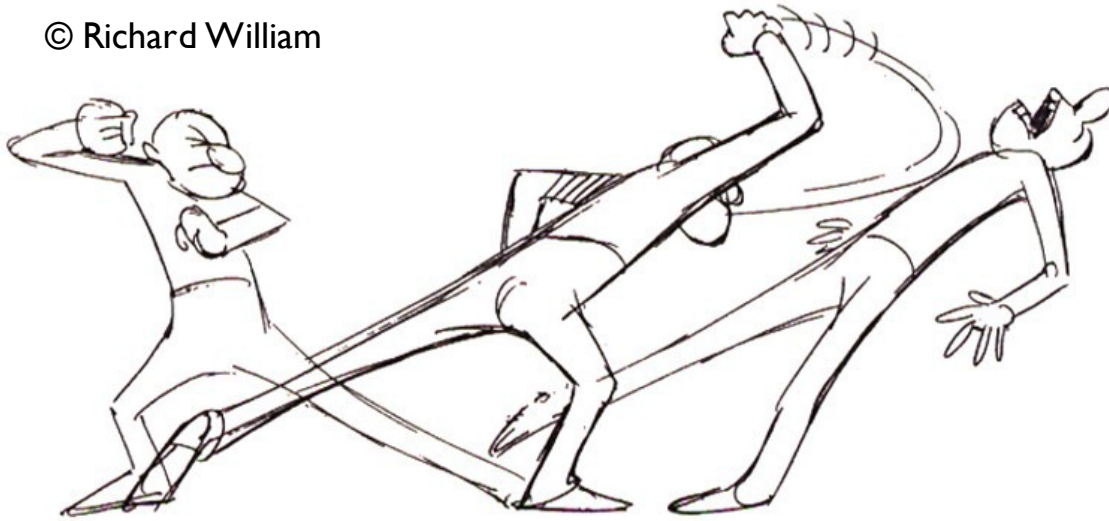
Distorsion de la forme pour accentuer le mouvement
(avec préservation du volume)



4. Anticipation

Action inverse au mouvement pour l'accentuer

© Richard William

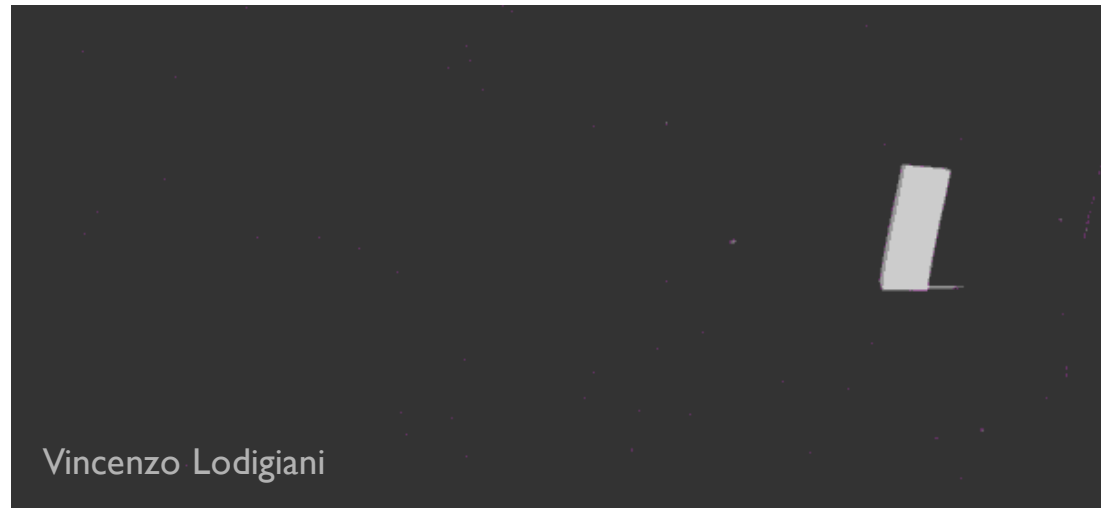
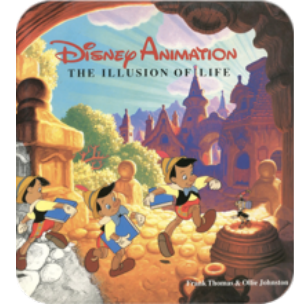
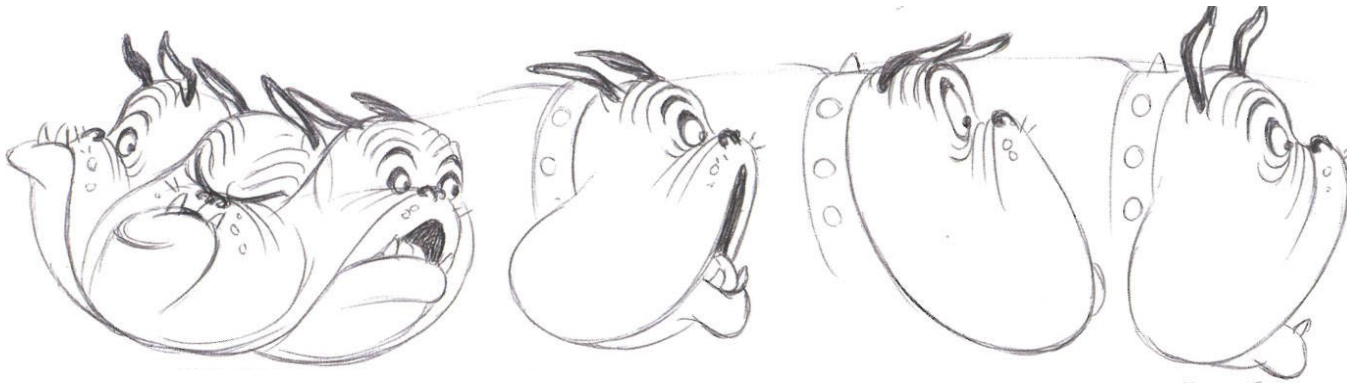


Vincenzo Lodigiani

5. Follow through & Overlapping

Retards et anticipations de certaines parties de la forme

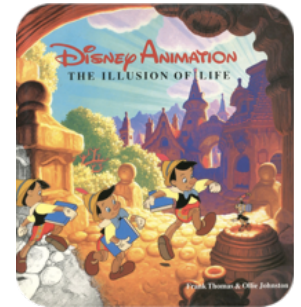
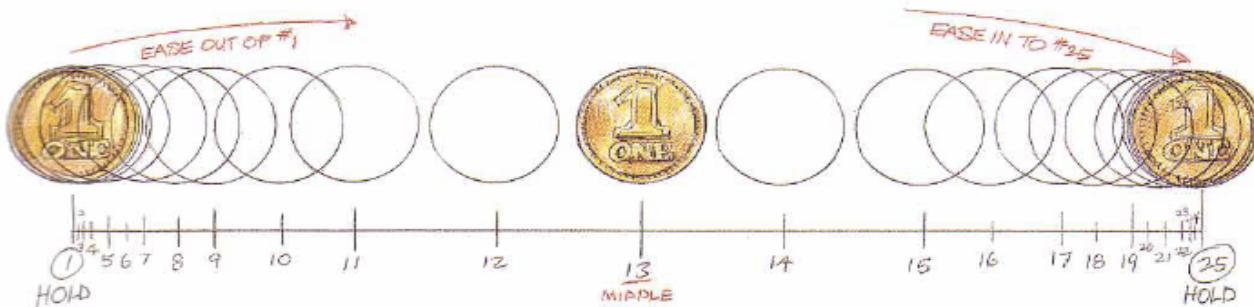
© Richard William



Vincenzo Lodigiani

6. Slow in, slow out

Exagération de l'accélération et de la décélération aux extrémités de la trajectoire



© Richard William

Vincenzo Lodigiani

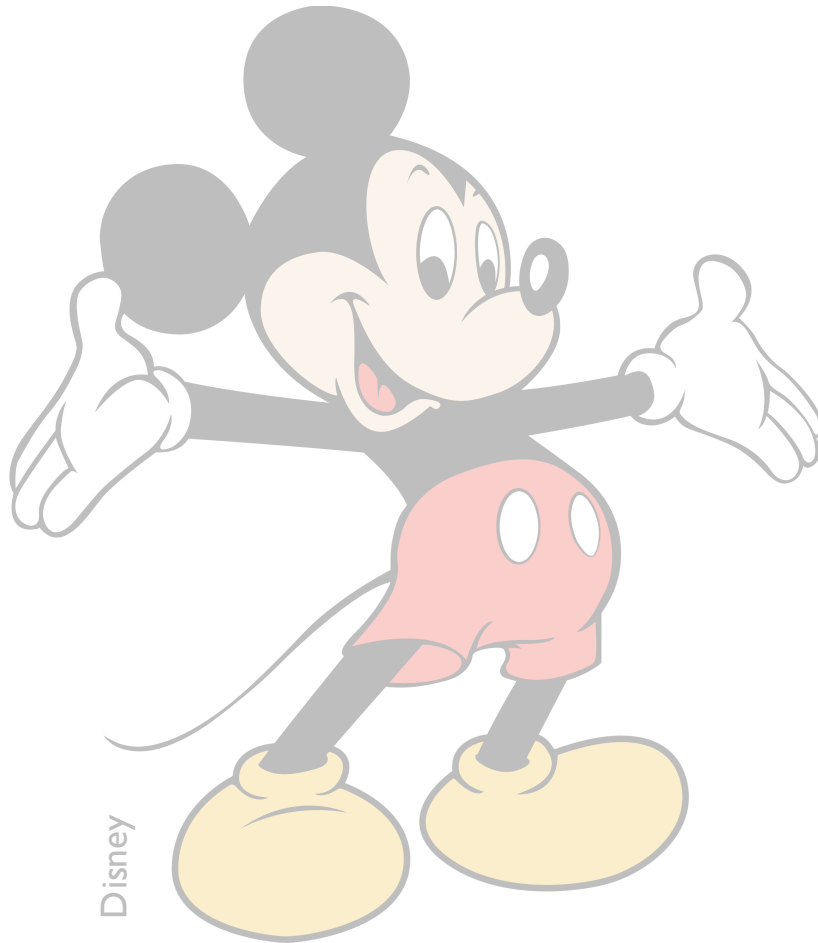
Encrage et remplissage digital



CAPS, LucasFilm - Pixar - Disney
(1989-2006)

Double héritage

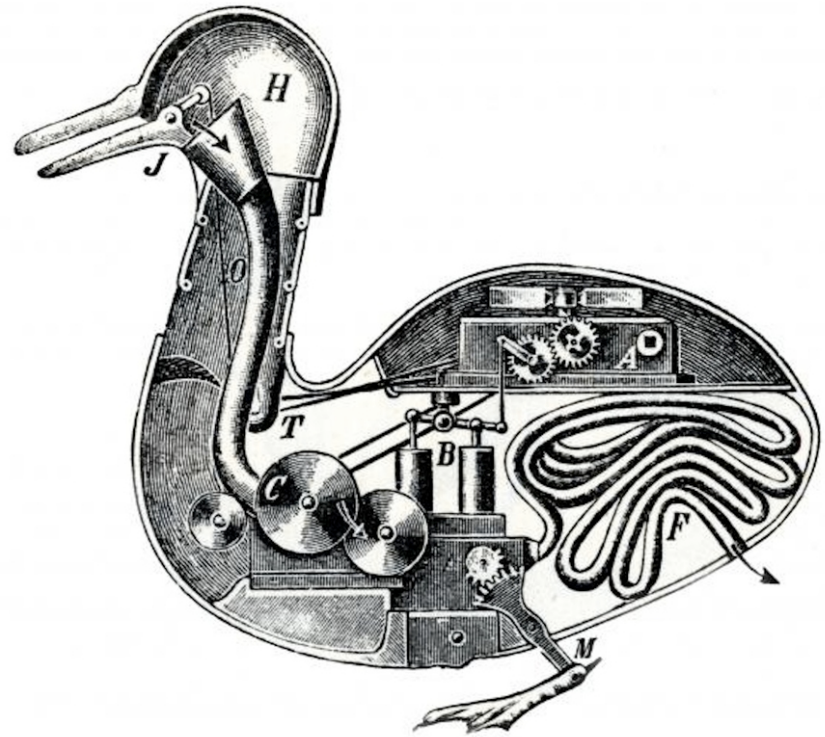
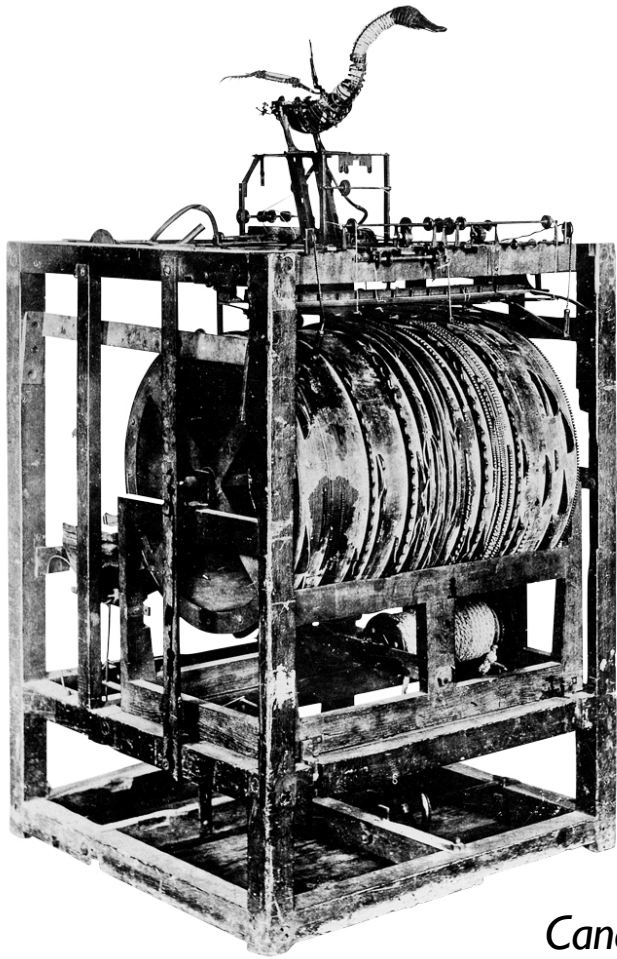
Dessin animé



Robotique

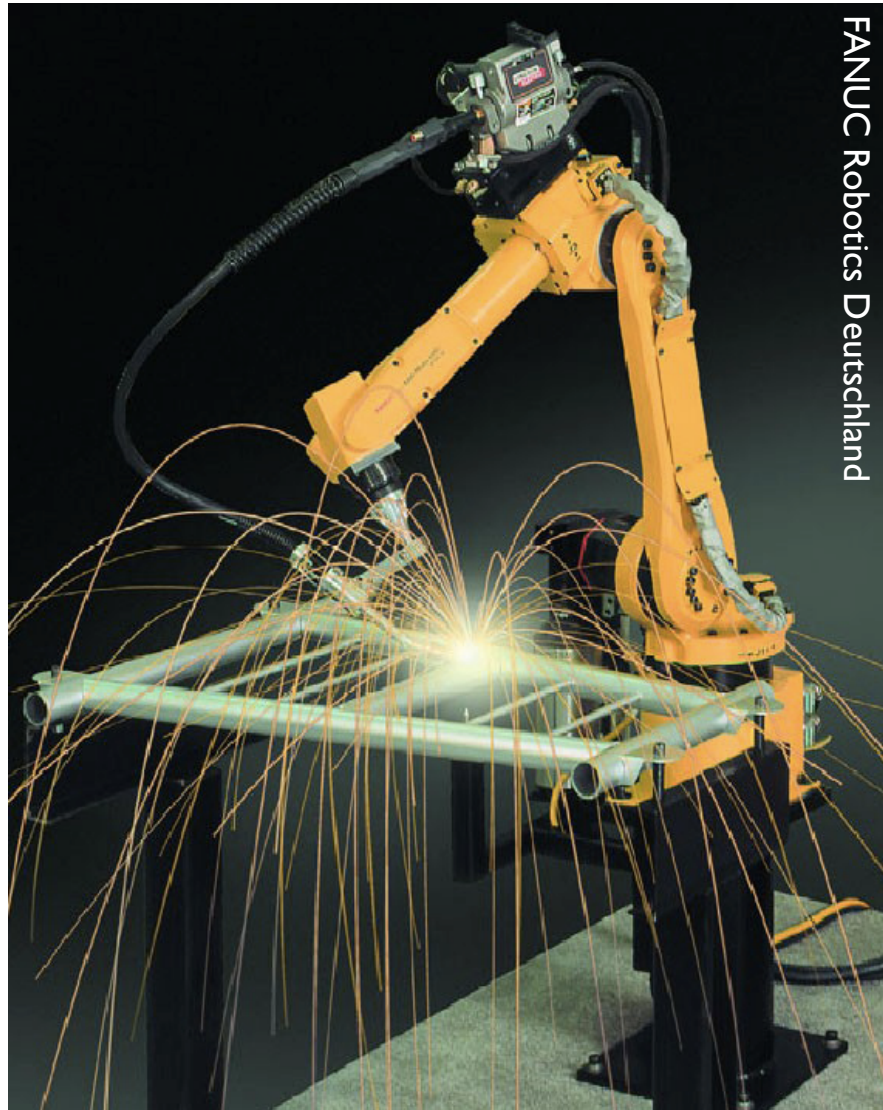


Automates



Canard digérateur (1744)
Jacques de Vaucanson

Robots industriels



Animatronique



Jurassic Park (1993)

Débuts de l'animation 3D

Recherche académique

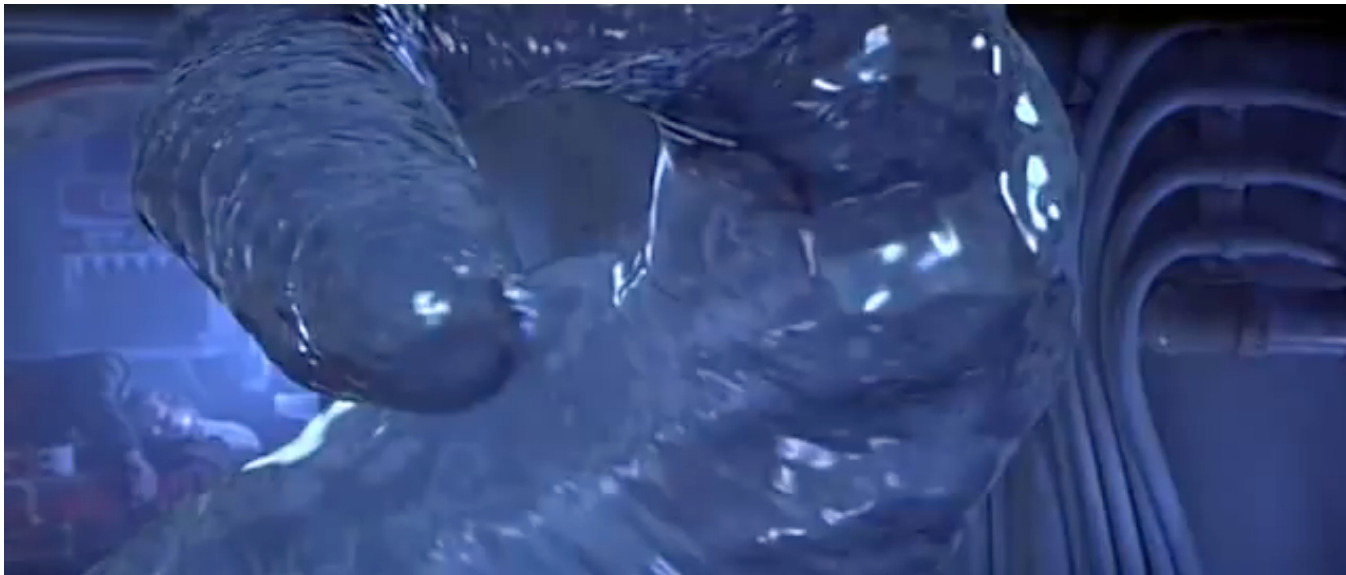
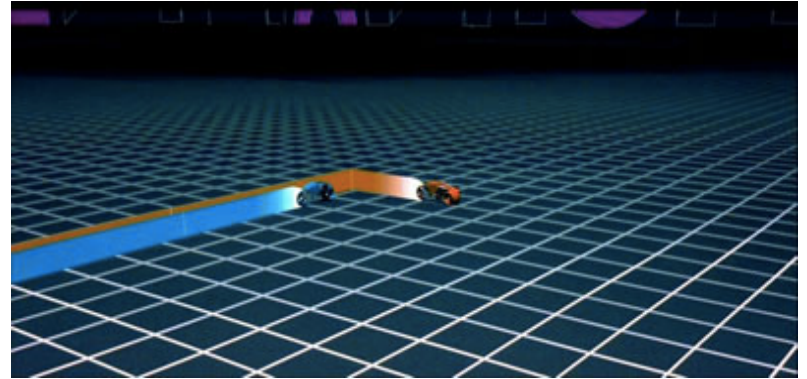


A Computer Animated Hand (1972)
Ed Catmull - Fred Parke

Débuts de l'animation 3D

Effets spéciaux

Tron (1986)



Abyss (1989)

Débuts de l'animation 3D

Court métrage d'animation 3D



Luxo Jr. (Pixar 1986)

Débuts de l'animation 3D

Long métrage d'animation 3D



Toy Story, (Pixar 1995)

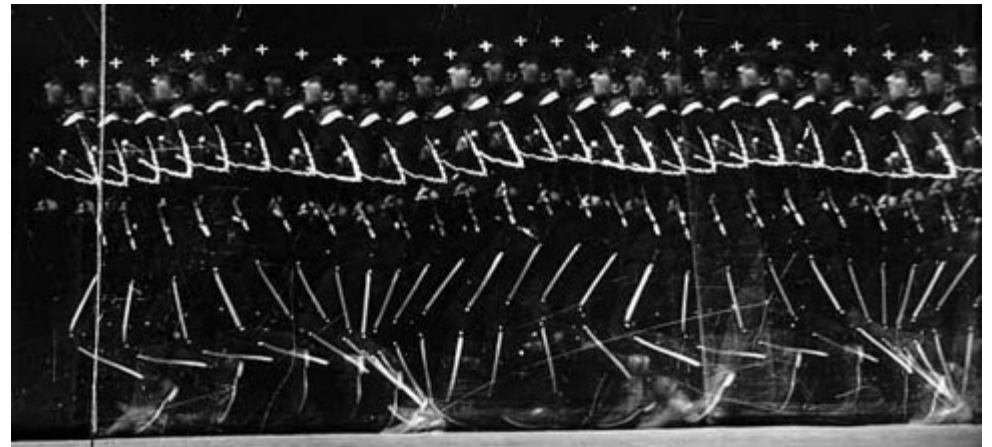


Plan

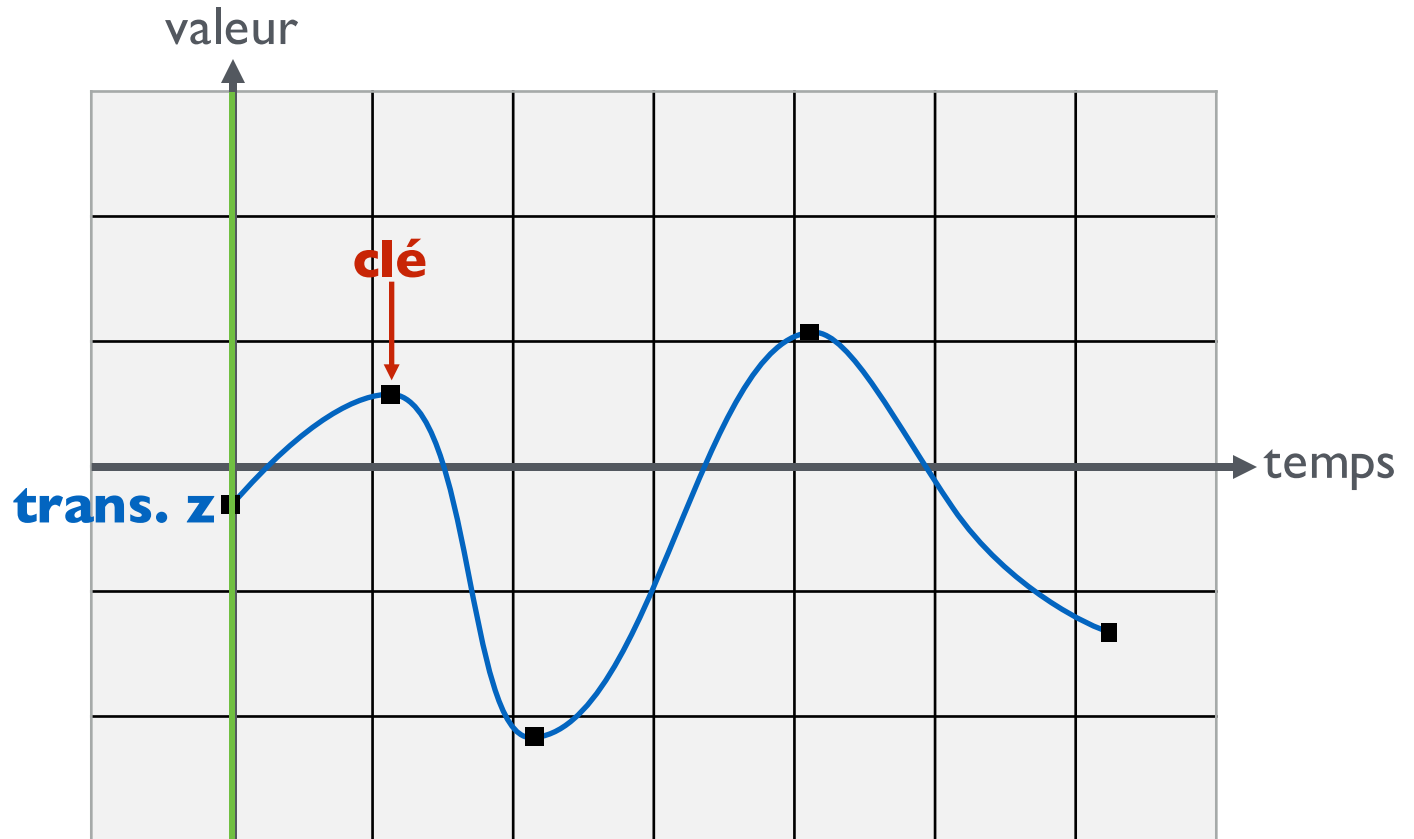
1. Introduction
2. **Cinématique**
 - Interpolation positions / vitesses
 - Modélisation hiérarchique
 - Cinématique directe
 - Cinématique inverse
3. Déformation de surfaces

Courbe d'animation

Etienne-Jules Marey (1830-1904)



Courbe d'animation



Interpolation

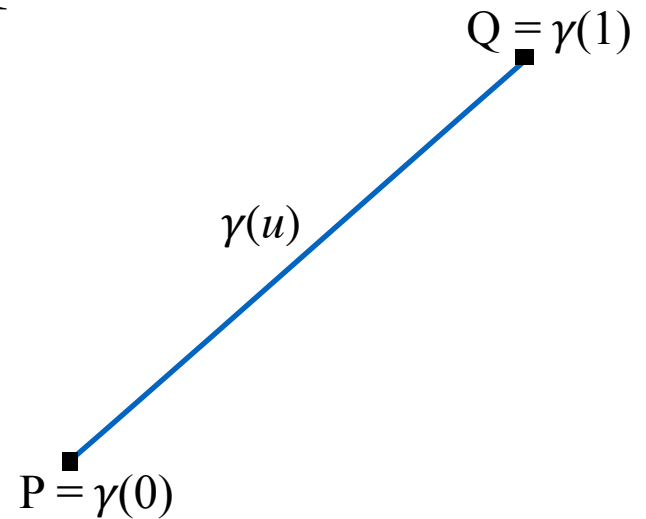
Entrées : valeurs clés (positions)

Objectif : **interpoler** ces valeurs clés par une fonction continue \Rightarrow **courbes d'animation**

- Fonction linéaire :

$$\gamma(u) = (1-u) P + u Q$$

- Continuité C^0
(position)



Interpolation

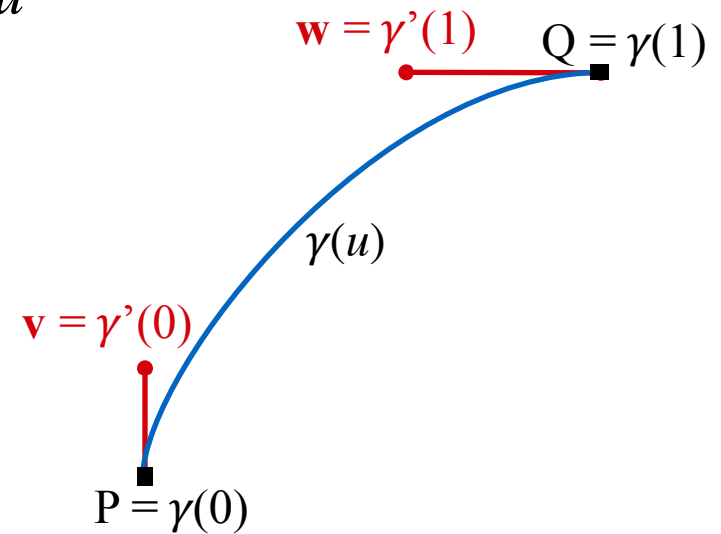
Entrées : valeurs clés (positions et **vitesse**s)

Objectif : **interpol**er ces valeurs clés par une fonction continue \Rightarrow **courbes d'animation**

- Polynôme de degré 3 de la forme :

$$\gamma(u) = \sum_{n=0..3} a_n u^n$$

- Continuité C^1 entre deux clés (positions et tangentes)
- Déterminer les paramètres a_n interpolant (ou approximant) au mieux les valeurs clés
- Degré 3 \Rightarrow 4 contraintes suffisantes pour résolution exacte



Interpolation

Polynôme d'Hermite (spline)

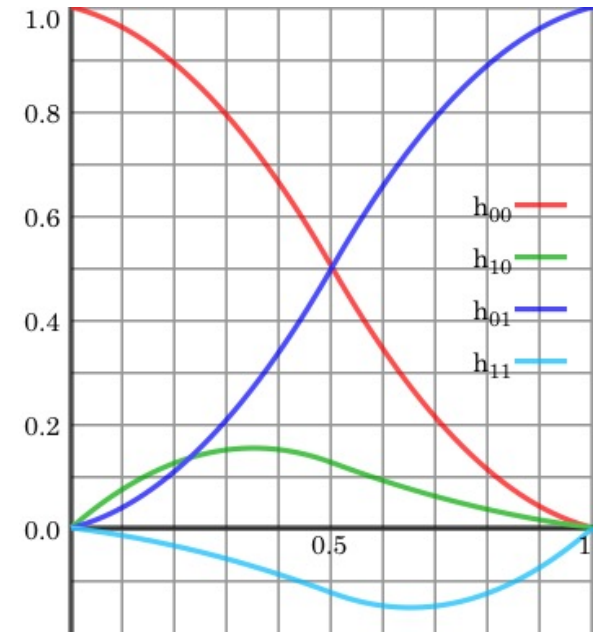
$$\gamma(u) = h_{00}(u)P + h_{01}(u)Q + h_{10}(u)\mathbf{v} + h_{11}(u)\mathbf{w}$$

avec $h_{00}(u) = 2u^3 - 3u^2 + 1$

$$h_{01}(u) = -2u^3 + 3u^2$$

$$h_{10}(u) = u^3 - 2u^2 + u$$

$$h_{11}(u) = u^3 - u^2$$



polynômes de base

Notation matricielle :

$$\gamma(u) = \underbrace{[P ; Q ; \mathbf{v} ; \mathbf{w}]}_{\text{matrice géométrie}} \underbrace{\begin{bmatrix} 1 & 0 & -3 & 2 \\ 0 & 0 & 3 & -2 \\ 0 & 1 & -2 & 1 \\ 0 & 0 & -1 & 1 \end{bmatrix}}_{\text{matrice de base}} [1 \ u \ u^2 \ u^3]^\top$$

$$\gamma(u) = \mathbf{GMT}(u)$$

Interpolation

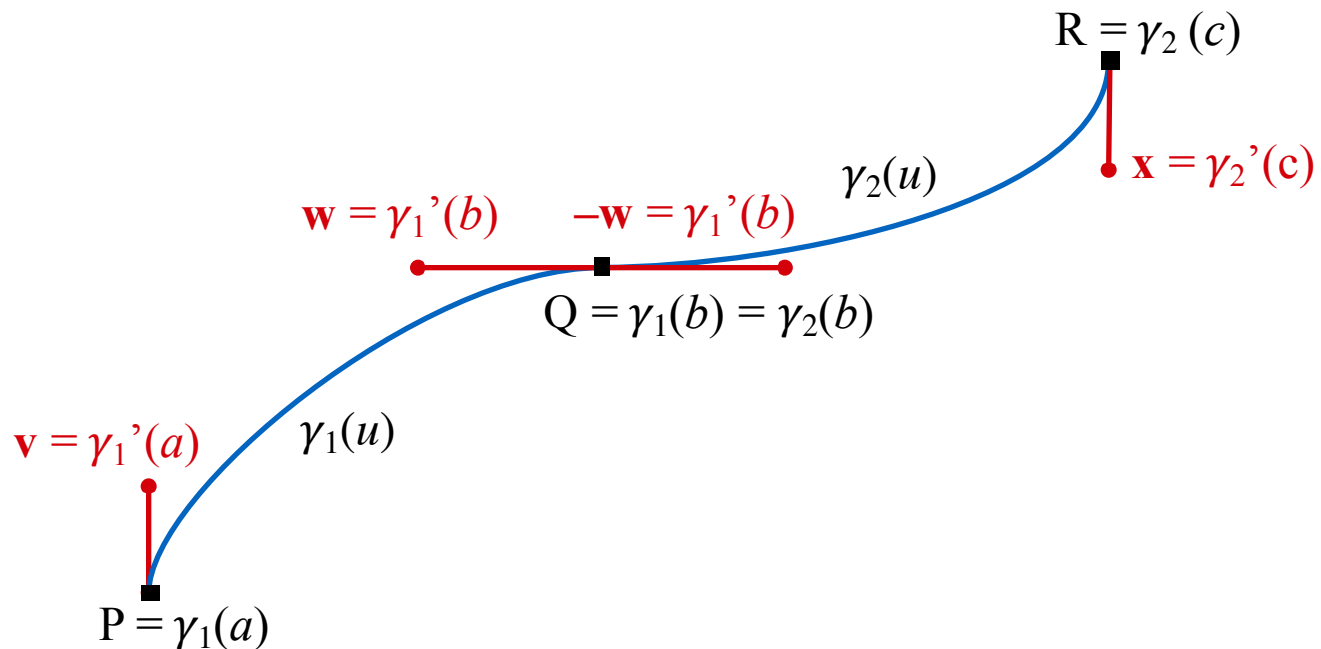
Avec 3 clés :

$$\gamma_1(u) = h_{00}(t_1) P + h_{01}(t_1) Q + h_{10}(t_1) \mathbf{v} (b-a) + h_{11}(t_1) \mathbf{w} (b-a)$$

avec $t_1 = u-a / (b-a)$

$$\gamma_2(u) = h_{00}(t_2) Q + h_{01}(t_2) R + h_{10}(t_2) -\mathbf{w} (c-b) + h_{11}(t_2) \mathbf{x} (c-b)$$

avec $t_2 = u-b / (c-b)$



Modélisation hiérarchique

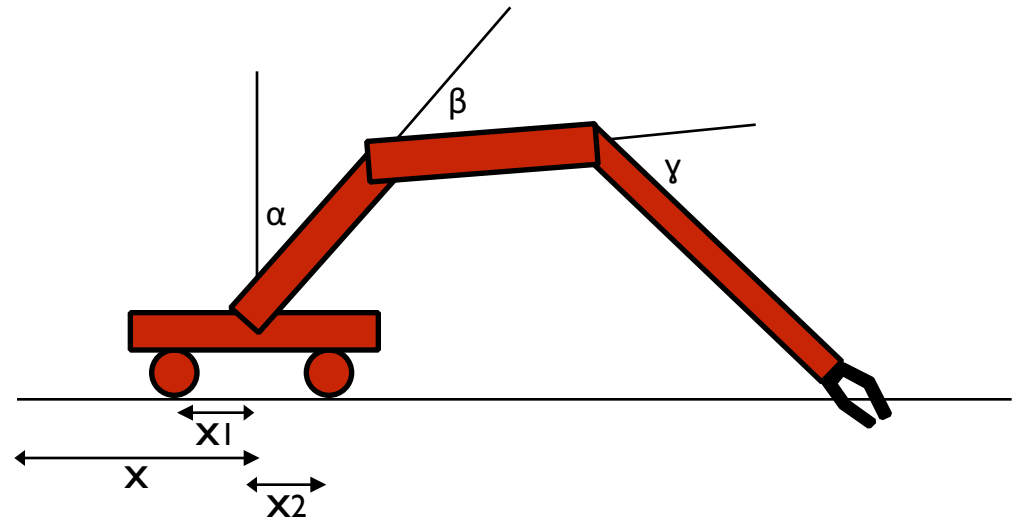
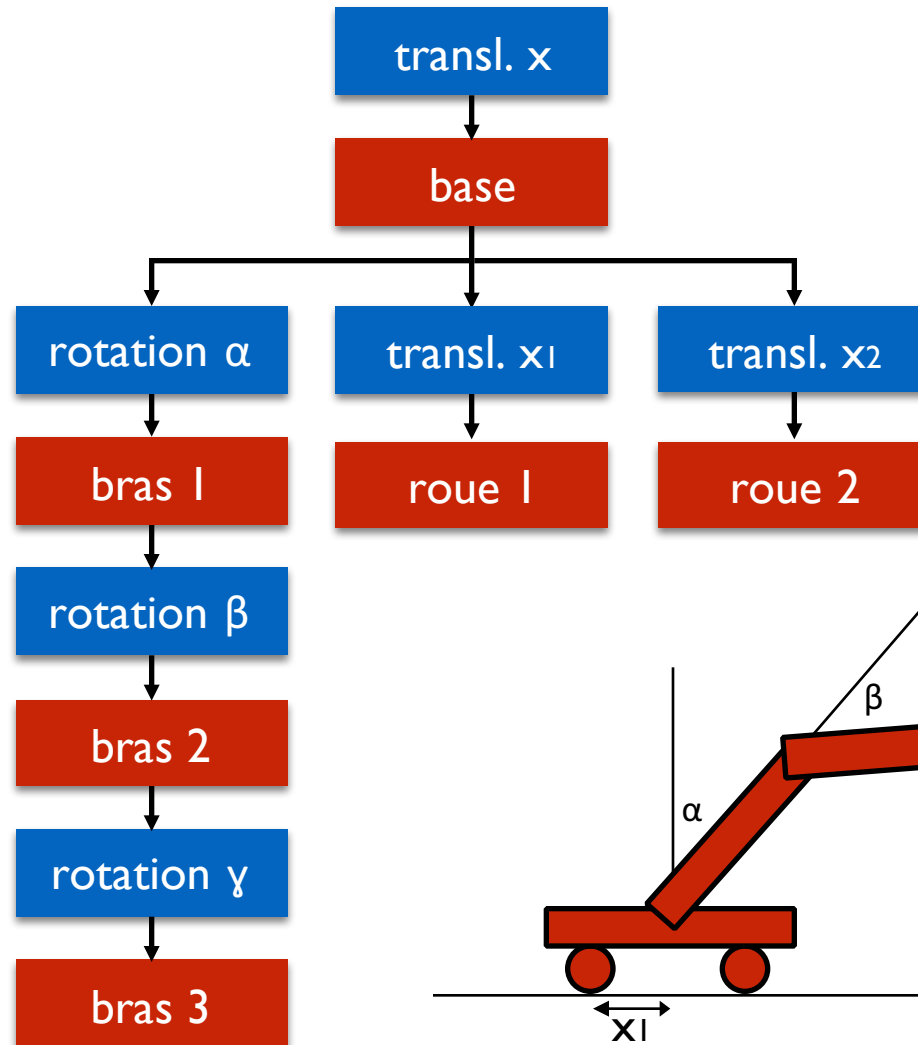
Modèle décomposé en une **hiérarchie de repères contraints**

Pas de géométrie, que des solides appelés **os (bones)** et des liens appelés **articulations (joins)**

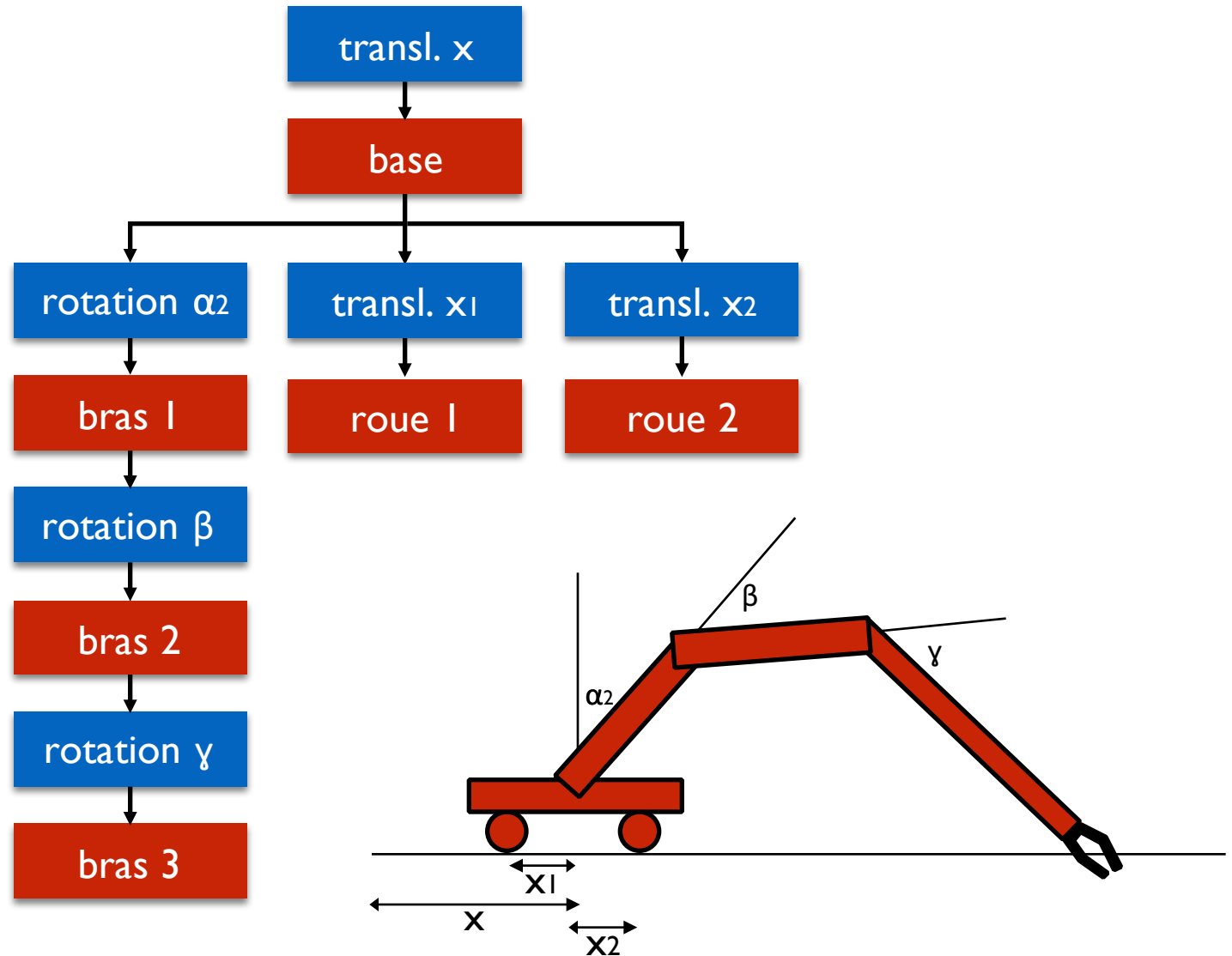
Articulation = 6 DOF

- 3 translations
- 3 rotations

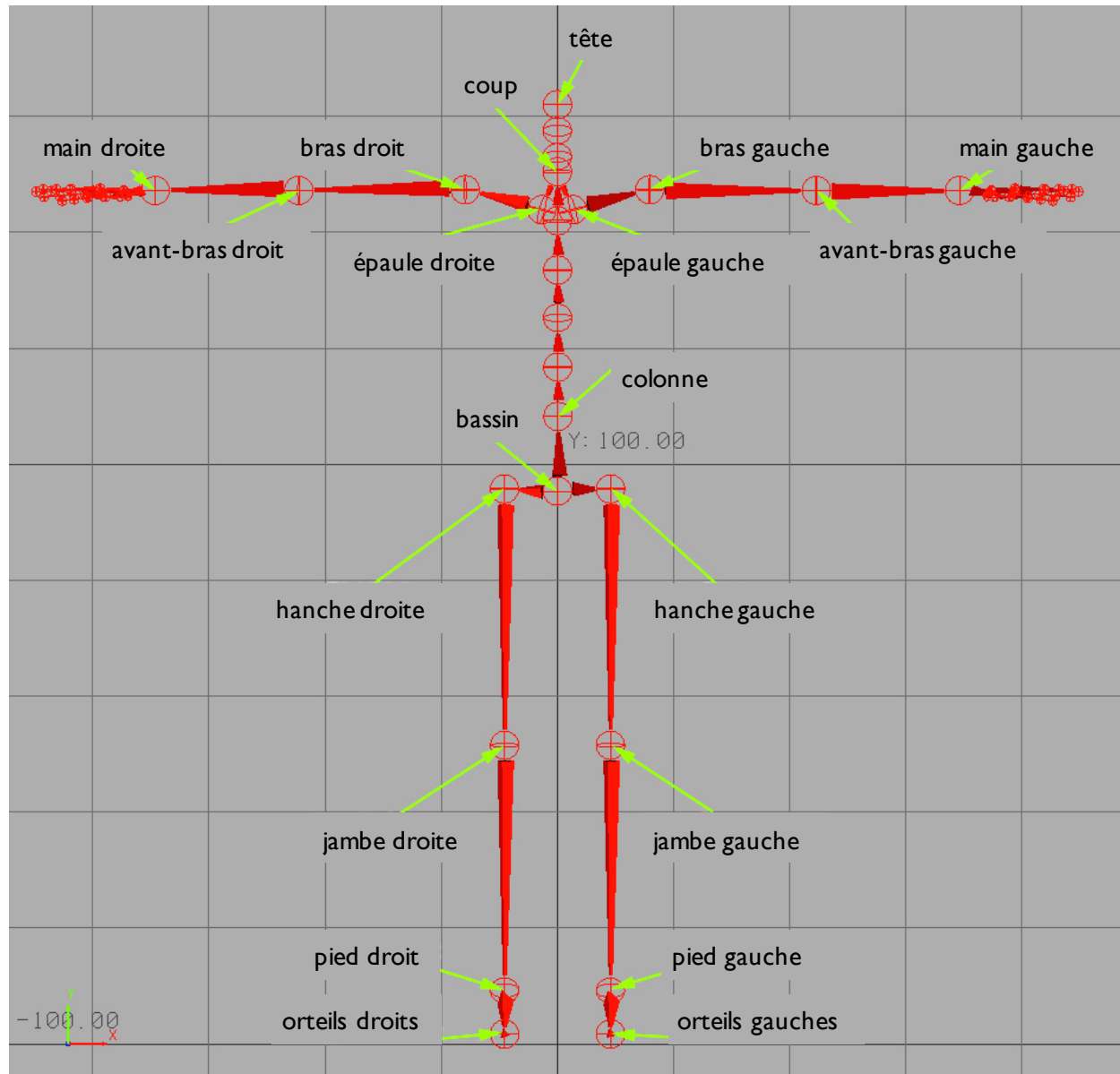
Chaîne articulée



Chaîne articulée



Squelette d'animation



Interpolation des rotations

Représentation canonique

- Matrices orthonormales $SO(3)$
- Problème : $M_0, M_1 \in SO(3) \not\Rightarrow (1 - \alpha)M_0 + \alpha M_1 \in SO(3)$
- Interpoler les coefficients puis re-orthonormaliser
 \Rightarrow trop couteux

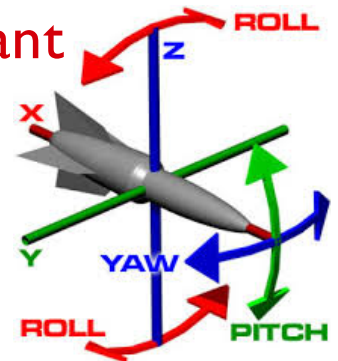
Angles d'Euler

- 1 angle par axe : $(\theta_x, \theta_y, \theta_z)$

- $M = R_{x,\theta_x} R_{y,\theta_y} R_{z,\theta_z} = \begin{bmatrix} 1 & 0 & 0 \\ 0 & \cos\theta_x & -\sin\theta_x \\ 0 & \sin\theta_x & \cos\theta_x \end{bmatrix} \begin{bmatrix} \cos\theta_y & 0 & \sin\theta_y \\ 0 & 1 & 0 \\ -\sin\theta_y & 0 & \cos\theta_y \end{bmatrix} \begin{bmatrix} \cos\theta_z & -\sin\theta_z & 0 \\ \sin\theta_z & \cos\theta_z & 0 \\ 0 & 0 & 1 \end{bmatrix}$

\Rightarrow attention, l'ordre des multiplications est important

- Interpoler chaque angle
 \Rightarrow intuitif et peu couteux



Interpolation des rotations

Limitations des angles d'Euler

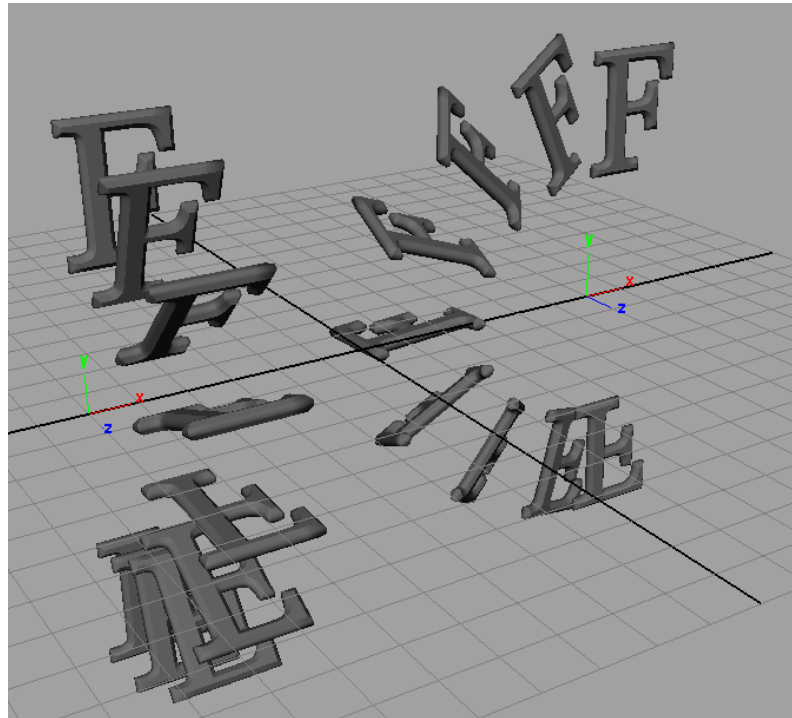
Non-unicité de la trajectoire

$$[\theta_x, \theta_y, \theta_z] = [0, 0, 0]$$



$$[\theta_x, \theta_y, \theta_z] = [\pi, 0, 0]$$

$$M = \begin{bmatrix} 1 & 0 & 0 \\ 0 & -1 & 0 \\ 0 & 0 & -1 \end{bmatrix}$$



$$[\theta_x, \theta_y, \theta_z] = [0, 0, 0]$$



$$[\theta_x, \theta_y, \theta_z] = [0, \pi, \pi]$$

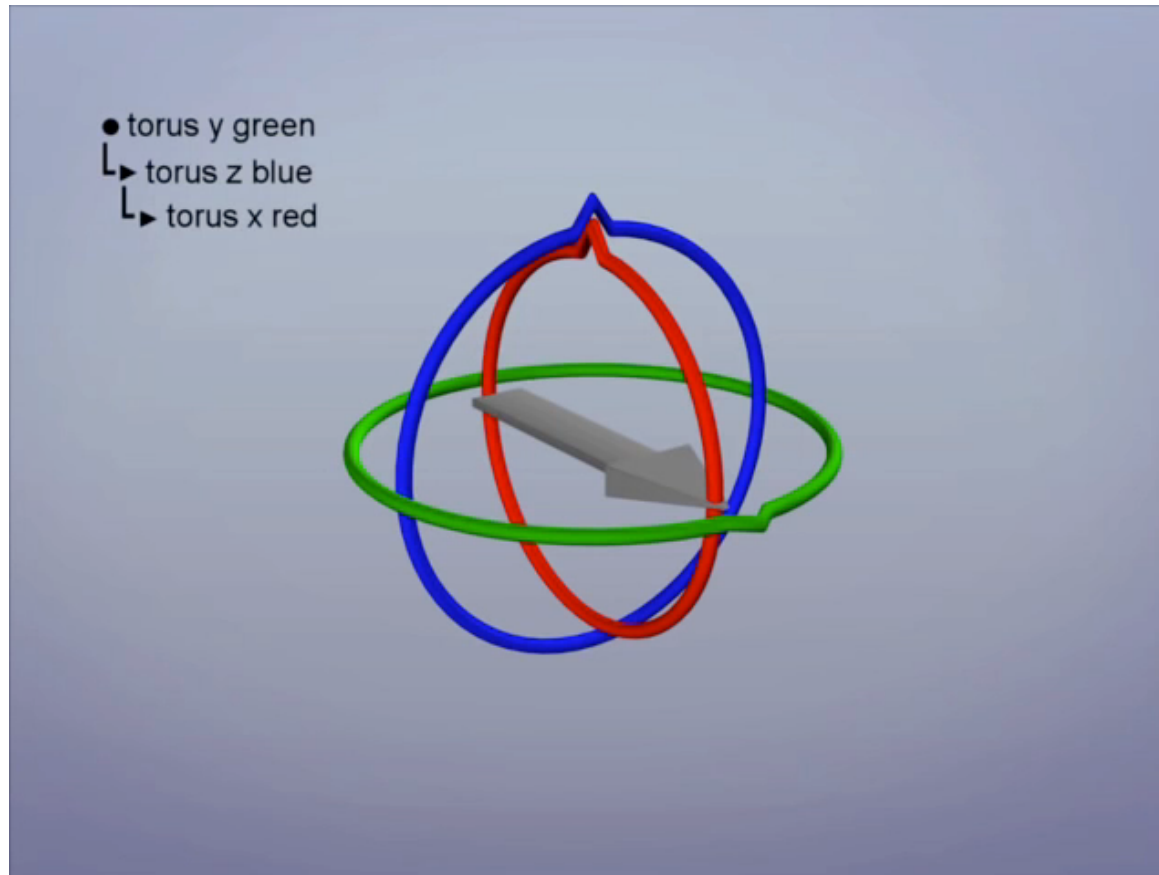
$$M = \begin{bmatrix} 1 & 0 & 0 \\ 0 & -1 & 0 \\ 0 & 0 & -1 \end{bmatrix}$$

Interpolation des rotations

Limitations des angles d'Euler

“Gimbal lock” : perte d'un degré de liberté

⇒ rotation en $\theta_x \Leftrightarrow$ rotation en θ_z



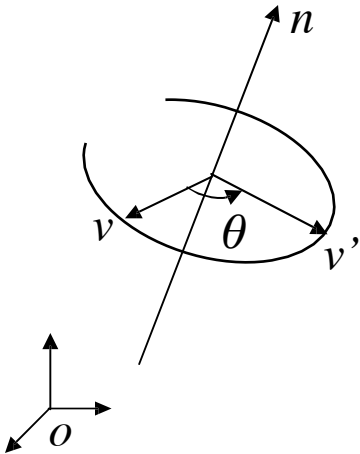
Interpolation des rotations

Axe et angle

- Toute rotation de \mathbb{R}^3 est une rotation planaire autour d'un axe
- Lien fort avec les quaternions

$$v' = R_{\theta, n} v = \cos\theta v + \sin\theta n \times v + (1 - \cos\theta)(v \cdot n) n$$

Rodrigues' rotation formula



Interpolation des rotations

Quaternions

- Représente un **axe** et un **angle**
- Extension des nombres complexes à la 3D :

$$q = [s, x, y, z] = s + ix + jy + kz = [s, \mathbf{n}]$$

avec $i^2 = j^2 = k^2 = ijk = -1$

- Comme les nombres complexes :

- Conjugué : $q^* = [s, -x, -y, -z]$
- Norme : $\|q\| = qq^* = s^2 + x^2 + y^2 + z^2$
- Inverse : $q^{-1} = q^*/q$

- Multiplication :

$$q_1 q_2 = [s_1, \mathbf{n}_1] [s_2, \mathbf{n}_2] = [s_1 s_2 - \mathbf{n}_1 \cdot \mathbf{n}_2, s_1 \mathbf{n}_2 + s_2 \mathbf{n}_1 + \mathbf{n}_1 \times \mathbf{n}_2]$$

Interpolation des rotations

Quaternions

Toute rotation 3D peut être représentée par un quaternion :

$$x' = R_{\theta, n} x \Leftrightarrow [0, x'] = q[0, x]q^{-1}$$

$$\text{avec } q = [\cos(\theta/2), \sin(\theta/2)\mathbf{n}]$$

$$\text{et } q^{-1} = [\cos(\theta/2), -\sin(\theta/2)\mathbf{n}]$$

Composition de rotations = multiplication de quaternions

si q_1 représente la rotation R_1 et q_2 représente R_2 ,

alors q_1q_2 représente la rotation R_1R_2

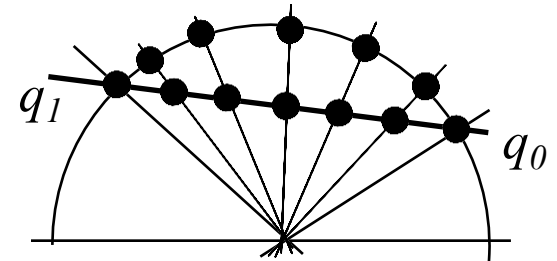
Interpolation des rotations

Quaternions

Interpolation linéaire (lerp) incorrecte

$$\text{lerp}(q_0, q_1, t) = (1-t)q_0 + tq_1$$

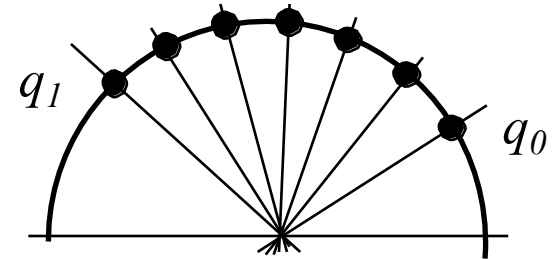
⇒ ne préserve pas la vitesse angulaire



Interpolation sphérique (slerp)

[Ken Shoemake 85]

$$\begin{aligned}\text{slerp}(q_0, q_1, t) &= q_0(q_0^{-1}q_1)^t \\ &= (q_1q_0^{-1})^t q_0\end{aligned}$$



Cinématique

Mouvement non-contraint

Hocher la tête, faire un signe de la main...

⇒ Cinématique directe (FK)

Mouvement contraint

Attraper un objet, marcher sur le sol...

⇒ Cinématique inverse (IK)

Cinématique directe

Entrées : valeurs des paramètres des articulations à un temps donnée :

$$\Theta = (\theta_1, \theta_2, \theta_3, \dots, t_1, t_2, \dots)$$

Sortie : position à atteindre M

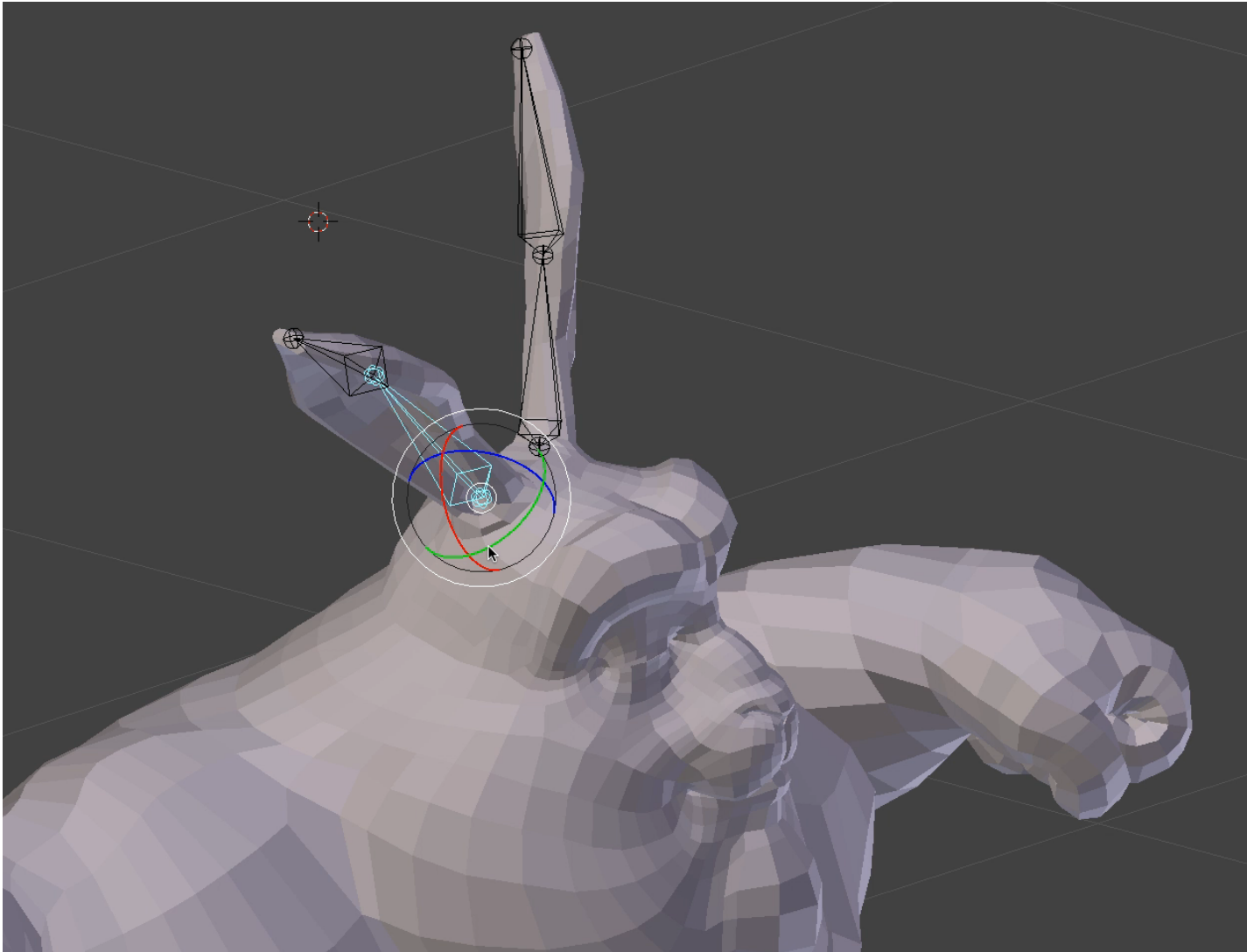
On **calcule** : $f(\Theta) = M = R_1(\theta_1)T_1R_2(\theta_2)T_2\dots M_0$
où M_0 est la position initiale

⇒ **interpolation des orientations clés**

Problèmes

- Contrôle des extrémités
- Accumulation des erreurs

Cinématique directe



Cinématique inverse

Entrée : position à atteindre M

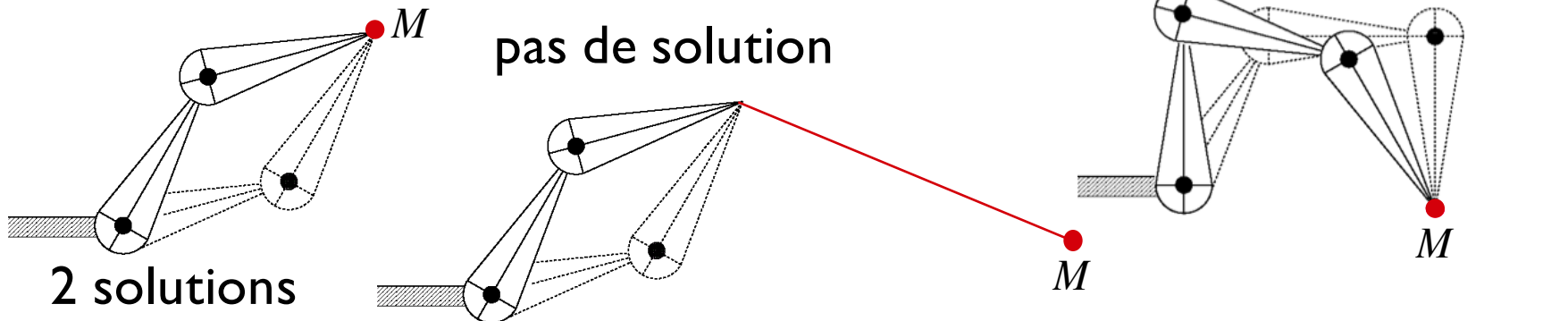
Sortie : valeurs des paramètres des articulations

$$\Theta = (\theta_1, \theta_2, \theta_3, \dots, t_1, t_2, \dots)$$

On veut **trouver** Θ tel que $f(\Theta) = M$

Difficultés :

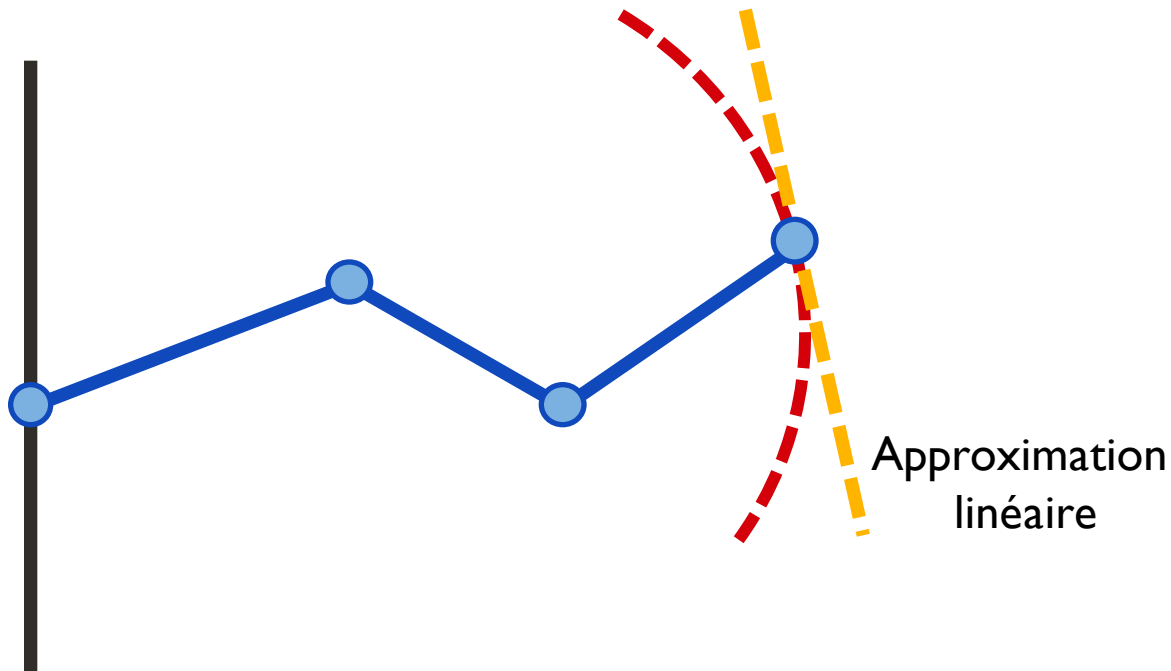
- Solution analytique seulement pour 2 à 3 rotations
- Non-linéarité à cause des rotations (\cos/\sin)
- Non-unicité de la solution



Cinématique inverse

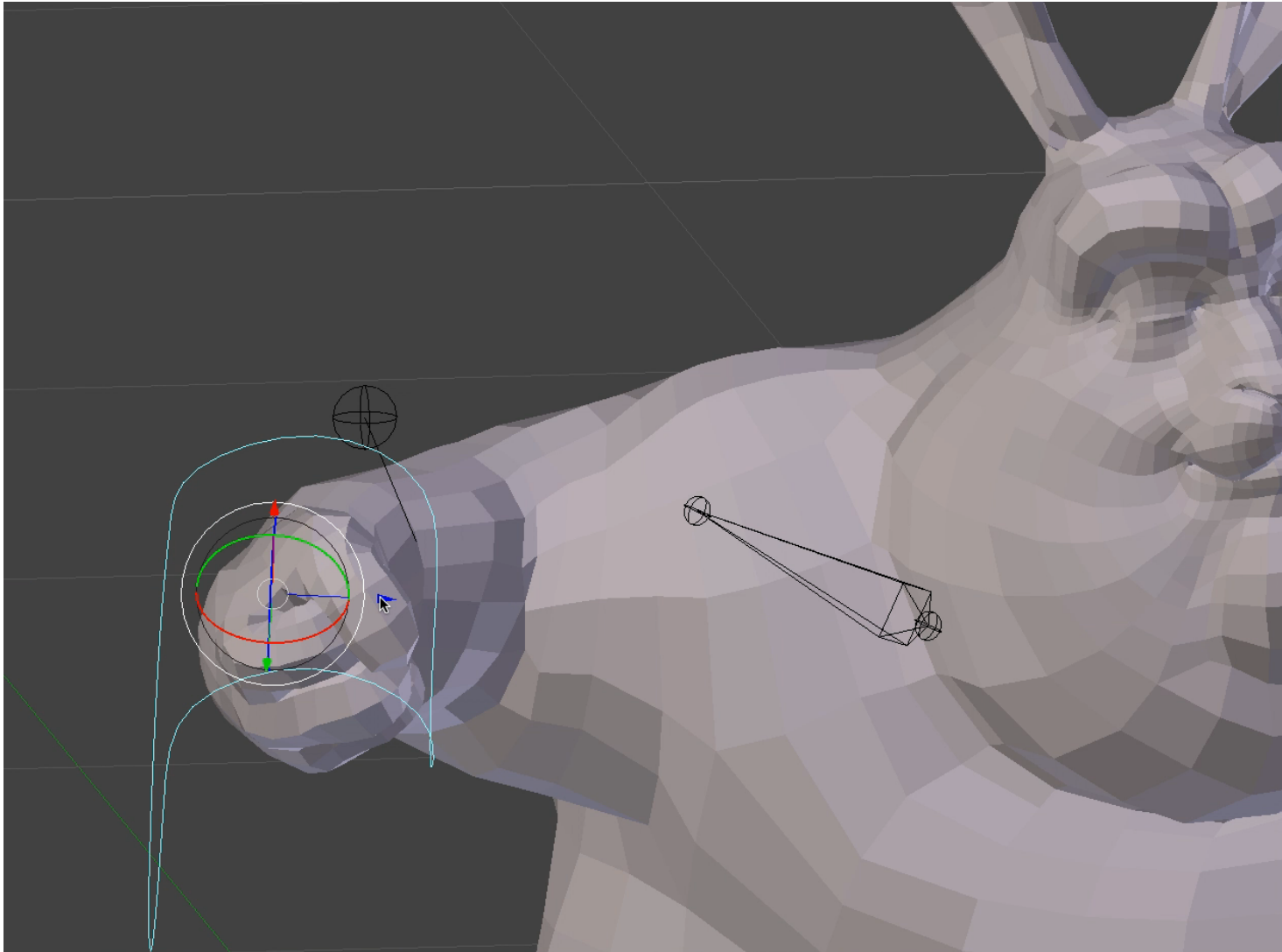
Objectif : trouver Θ tel que $f(\Theta) = M$

Linéarisation du problème



...et minimisation de la distance $\|f(\Theta_0 + \Lambda) - M\|$

Cinématique inverse



Linéarisation du problème

Objectif : trouver Θ tel que $f(\Theta) = M$

Linéarisation du problème :

- Depuis une configuration initiale Θ_0
- On cherche Λ tel que $\|f(\Theta_0 + \Lambda) - M\|$ est minimal
- Si Λ est petit, $M \approx \Theta_0 + f'(\Theta)\Lambda$
- En 1D, série de Taylor :

$$f(\Theta + \Lambda) = f(\Theta) + f'(\Theta)\Lambda + \frac{1}{2}f''(\Theta)\Lambda^2 + \dots$$

- En dimensions supérieures :

$$f(\Theta + \Lambda) = f(\Theta) + J(\Theta)\Lambda + \frac{1}{2}\Lambda^t H(\Theta)\Lambda + \dots$$

avec $J = \mathbf{Jacobien}$ de f , forme linéaire

$H = \mathbf{Hessien}$ de f , forme quadratique

Algorithme

Approximation linéaire (petits déplacements) :

$$J(\Theta)\Lambda = M - \Theta_0$$

Résolution du système linéaire $\Rightarrow \Lambda$

calculer la pseudo-inverse de J : $J^+ = J^T(JJ^T)^{-1}$ si $n > 3$

J matrice $3 \times n$ $= (J^T J)^{-1} J^T$ si $n < 3$

Mise-à-jour : $\Theta = \Theta_0 + \Lambda$

...et on recommence

itérations = **série de petits déplacements**
pour atteindre la cible M

Limite aux articulations

Important pour le réalisme :

respect des **contraintes morphologiques**

Ex. : l'angle du coude varie sur $[0, \pi]$

Modifications de l'algorithme

- Tester si dépassement pour paramètre i
- Annuler paramètre i
(en pratique, enlever la colonne correspondante dans J)
- Recalculer J , J^+ et Θ sans i
- Vérifier les autres paramètres

Plus d'infos : <http://billbaxter.com/courses/290/html/>

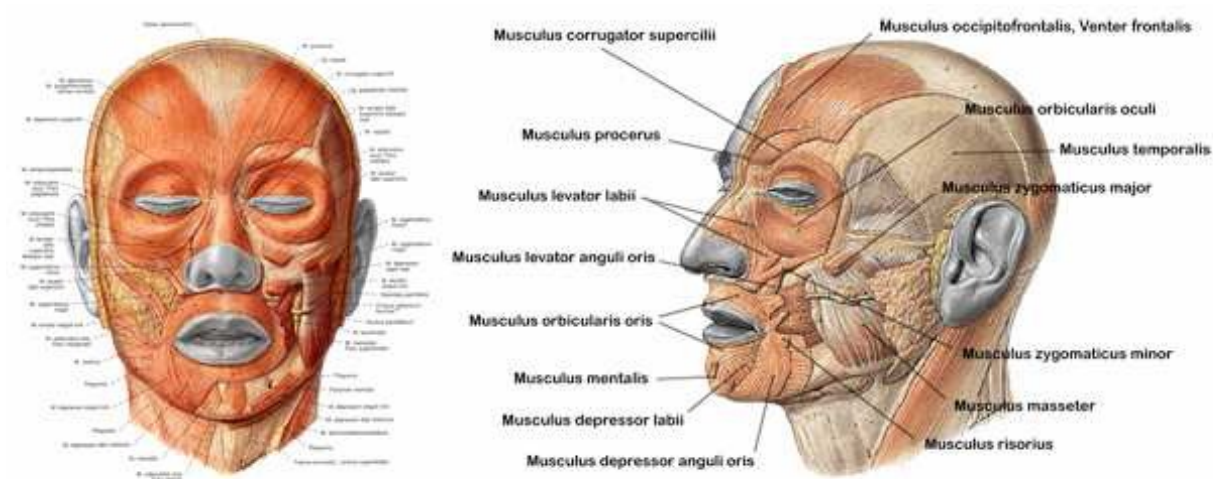
Plan

1. Introduction
2. Cinématique
3. **Déformation de surfaces**
 - Skinning
 - Déformeurs non-linéaires
 - Morphing

Déformation de surfaces

Squelette d'animation vs. **modèle visuel**

En réalité, forme visible composée de **tissus organiques**



De quel niveau de détails se satisfaire dans l'animation ?

Modèle visuel

Le niveau de réalisme dépend de l'application

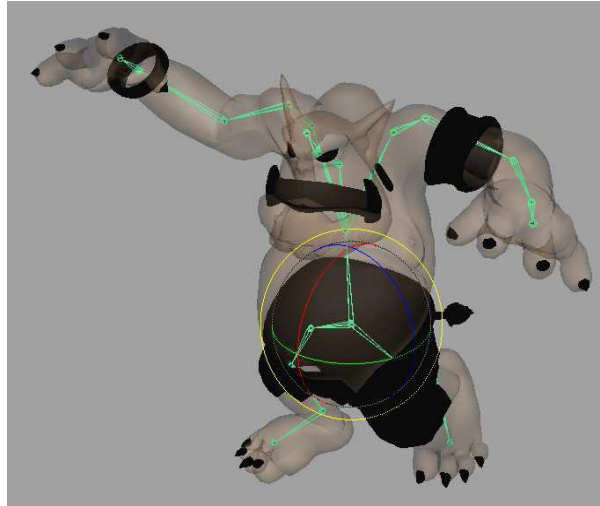
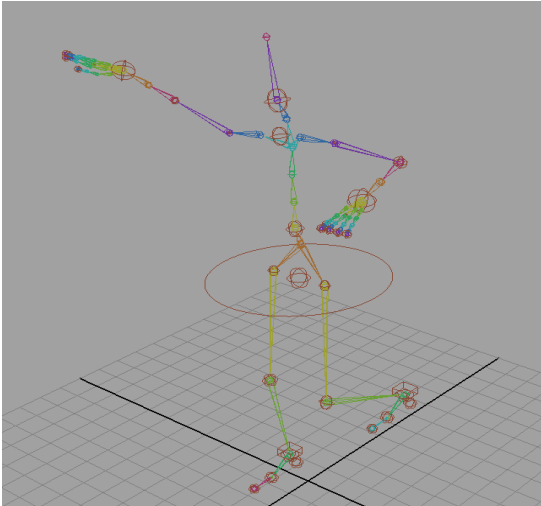
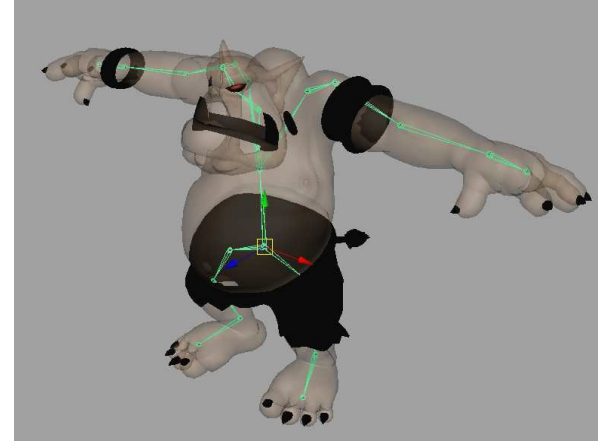
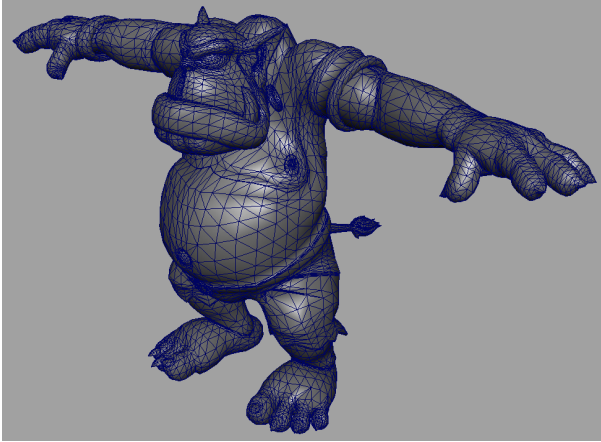


Déformation de surfaces

Souvent, on se satisfait de **l'approximation par une surface 3D**

- ✓ rapport direct avec la modélisation (forme et texture)
- ✓ structure légère facile à animer (en temps réel)
- ✗ approximation grossière de la réalité

Pipeline 3D



Rigging

Entrées : sommets p_i de la surface 3D (*skin*) et squelette dans une pose de base (*bind pose*)

Sortie : positions p_i' après mouvement du squelette

- On connaît p_i dans le repère monde (ou objet)
- On connaît la matrice B_j de passage de l'os j au repos au repère monde

⇒ **nouvelles coordonnées** : $p_i' = T_j B_j^{-1} p_i$
avec T_j la matrice de transformation de l'os j

Skinning linéaire

Sommet influencés par plusieurs os

⇒ interpolation linéaire des positions

Si p_i lié aux os j et k :

$$p_i' = w p_{ij}' + (1-w) p_{ik}'$$

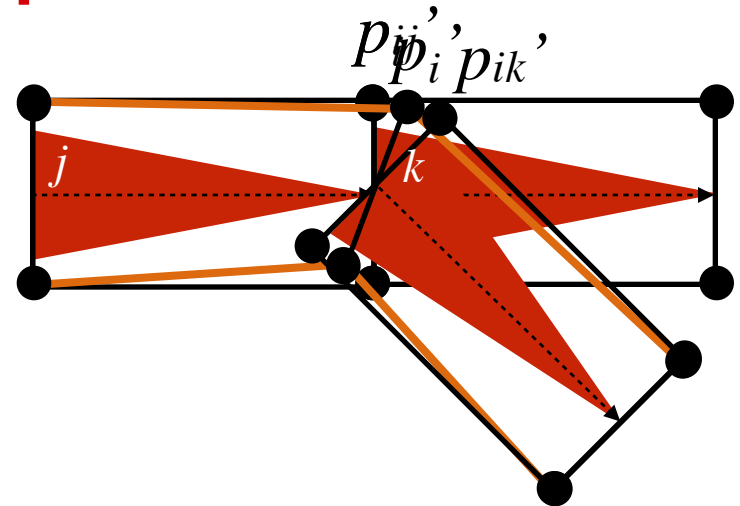
$w : [0,1]$ skin weight

Cas général

$$p_i' = \sum_j w_{ij} T_j B_j^{-1} p_i$$

$$= (\sum_j w_{ij} M_j) p_i$$

avec $\sum_j w_{ij} = 1$



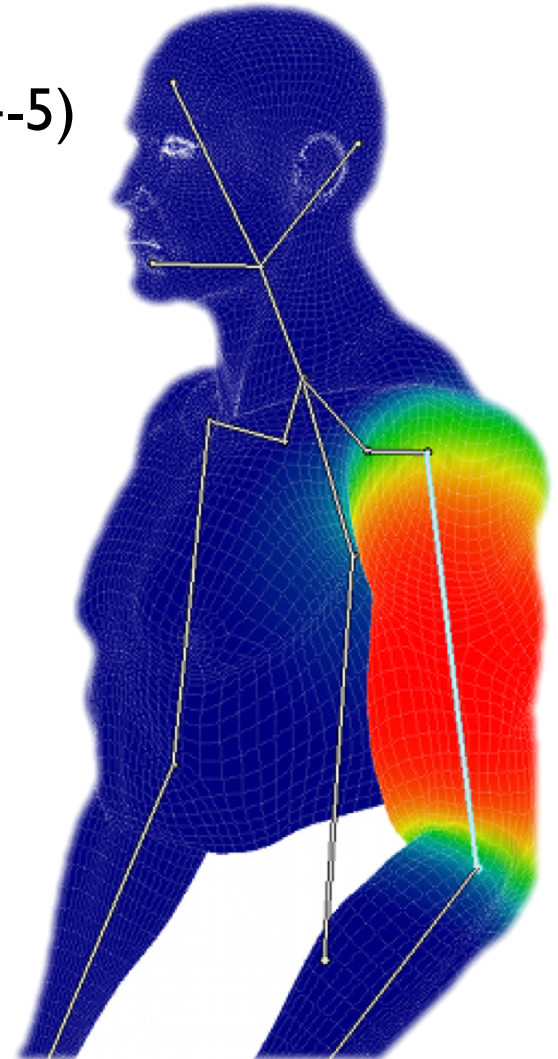
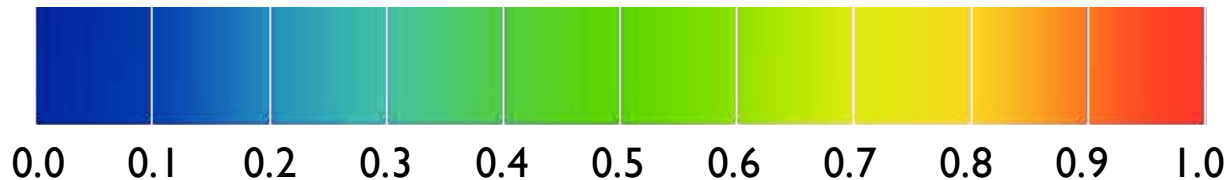
Poids de skinning

Spécifiés (« peints ») par un artiste os par os

- $w_{ij} = 1 \Rightarrow$ mouvement rigide avec l'os
- Limiter le nombre de poids par sommet (4-5)
 - \Rightarrow coût de la sommation
 - \Rightarrow stockage mémoire

et/ou calculés automatiquement

(distance euclidienne, harmonique, géodésique)



Skinning linéaire

1. Rigging – pre-process

⇒ matrices de pose : B_j

⇒ poids de skinning : w_{ij}

2. Cinématique direct ou inverse – à chaque temps t

⇒ matrices de transformation $M_j(t) = T_j(t) B_j^{-1}$

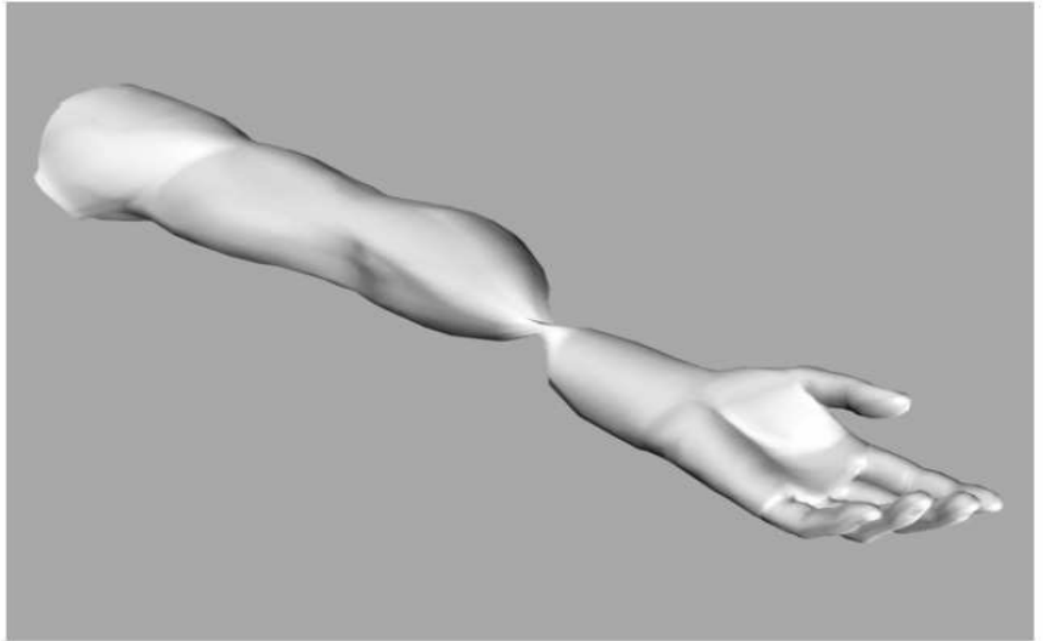
3. Skinning linéaire – vertex shader

⇒ $p_i' = (\sum_j w_{ij} M_j(t)) p_i$

Skinning linéaire

Limitation : rotations

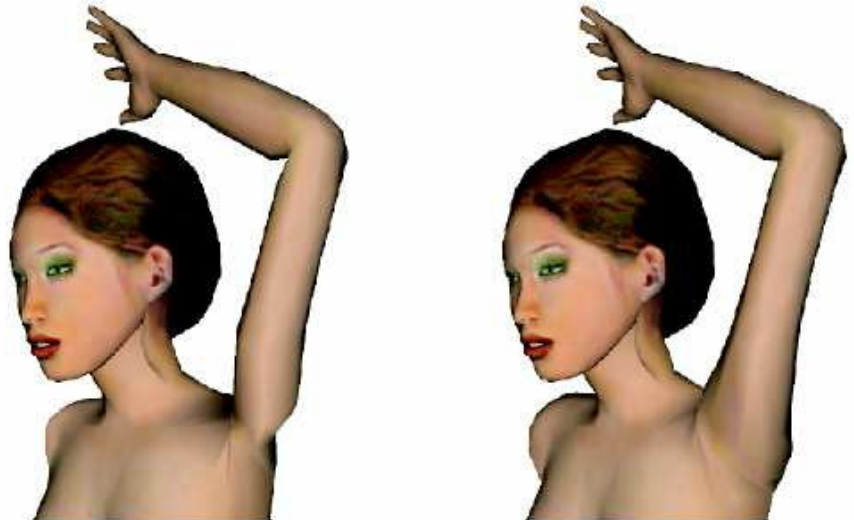
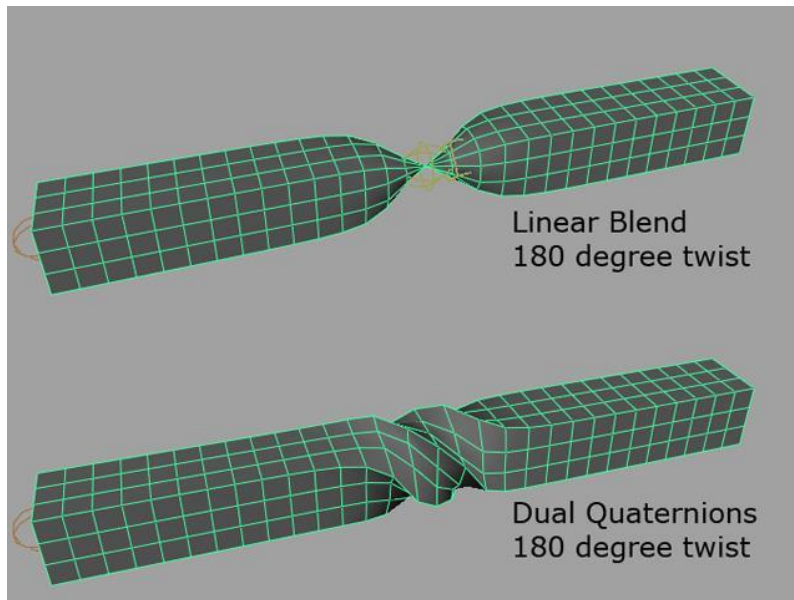
(la moyenne de 2 rotations n'est pas une rotation !)



Skinning + quaternions duaux

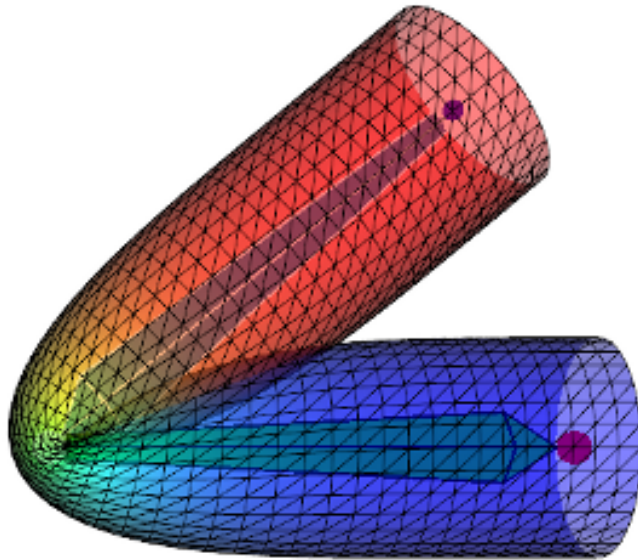
[Kavan et al. 08]

Calculer l'interpolation de matrice en maintenant des rotations correctes à l'aide de quaternions duaux

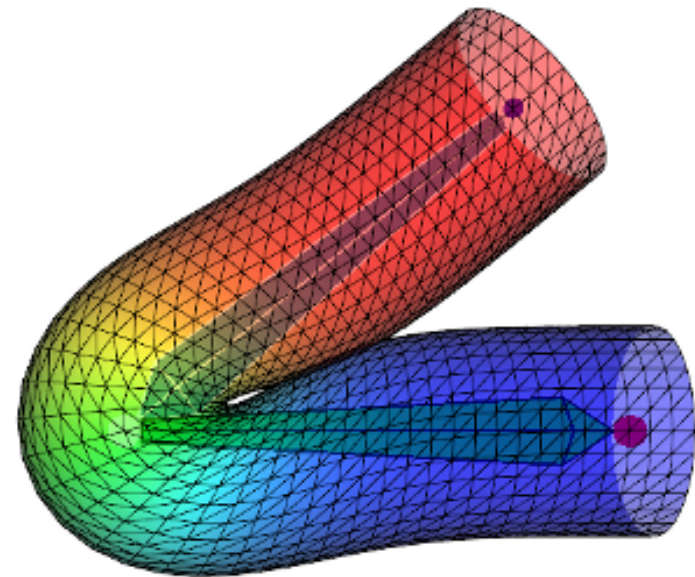
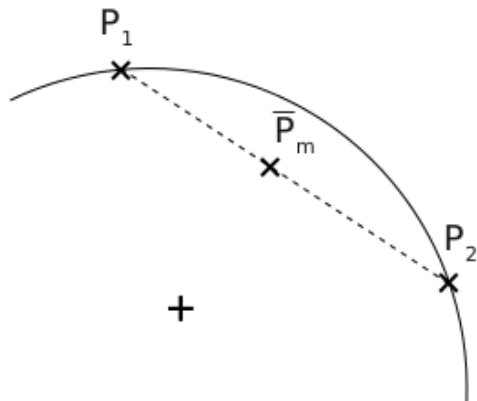


Skinning + quaternions duaux

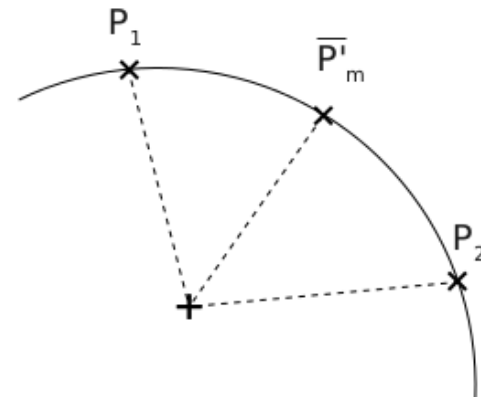
[Kavan et al. 07]



Skinning linéaire



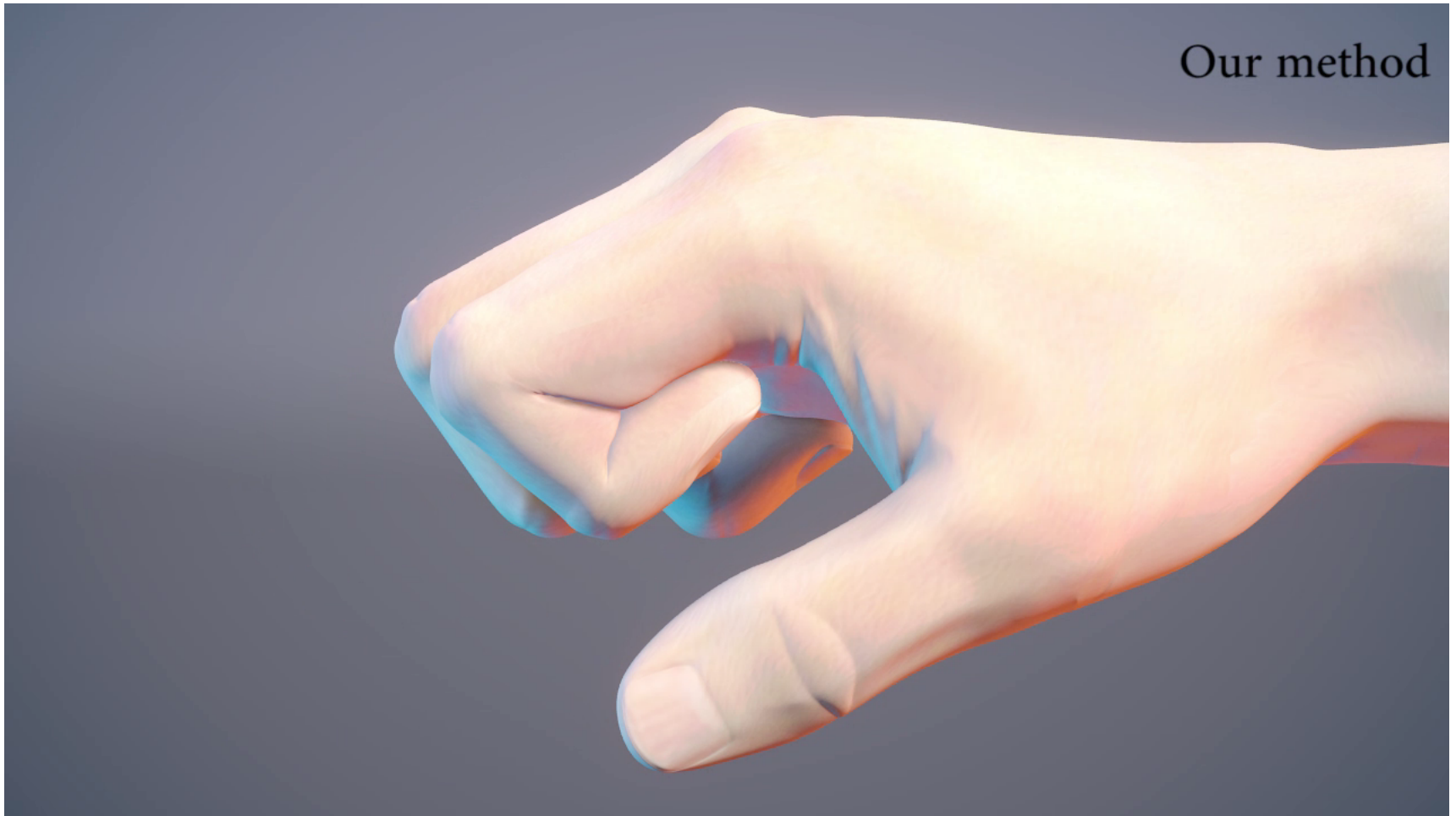
Dual quaternions



Skinning + surfaces implicites

[Vaillant et al. 13]

Prise en compte des **contacts**



Deformers non-linéaire

Modification **globale** de l'espace 3D

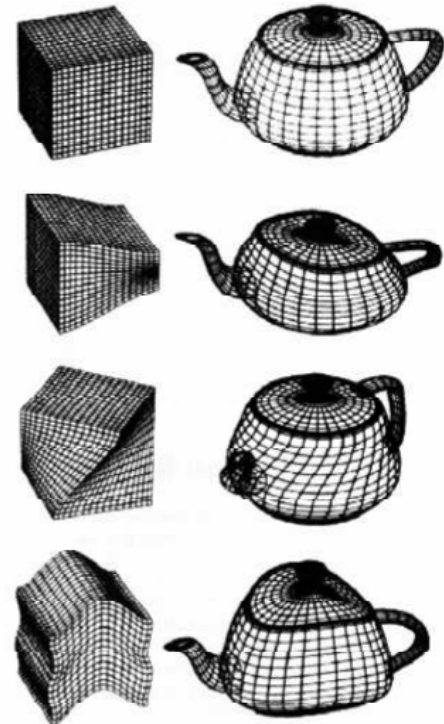
Définir une **fonction dans l'espace** :

$$p \in \mathbb{R}^3 \rightarrow M(p)$$

où $M(p)$ est une matrice de transformation

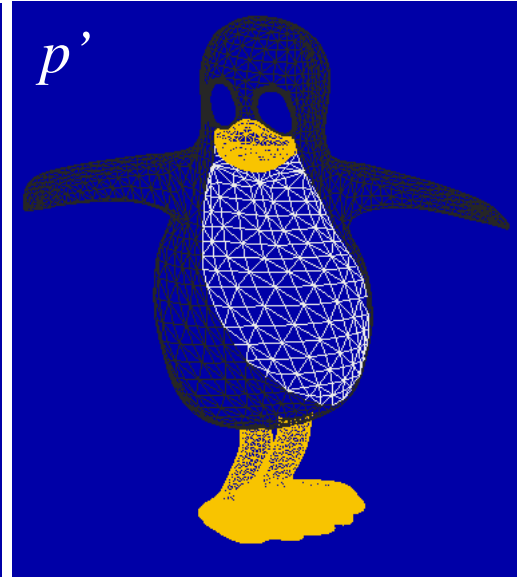
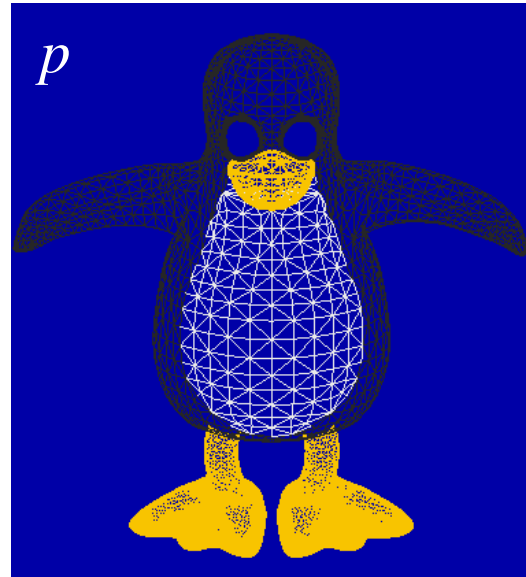
Action sur un point p

- Évaluer M au point p : $M(p)$
- Faire agir M sur P : $p' = M(p)p$



Twist (rotation non-uniforme)

$$r(z) = \begin{cases} 0 & z \leq z_0 \\ \frac{z-z_0}{z_1-z_0} \theta_{\max} & z_0 \leq z \leq z_1 \\ \theta_{\max} & z_1 \leq z \end{cases}$$



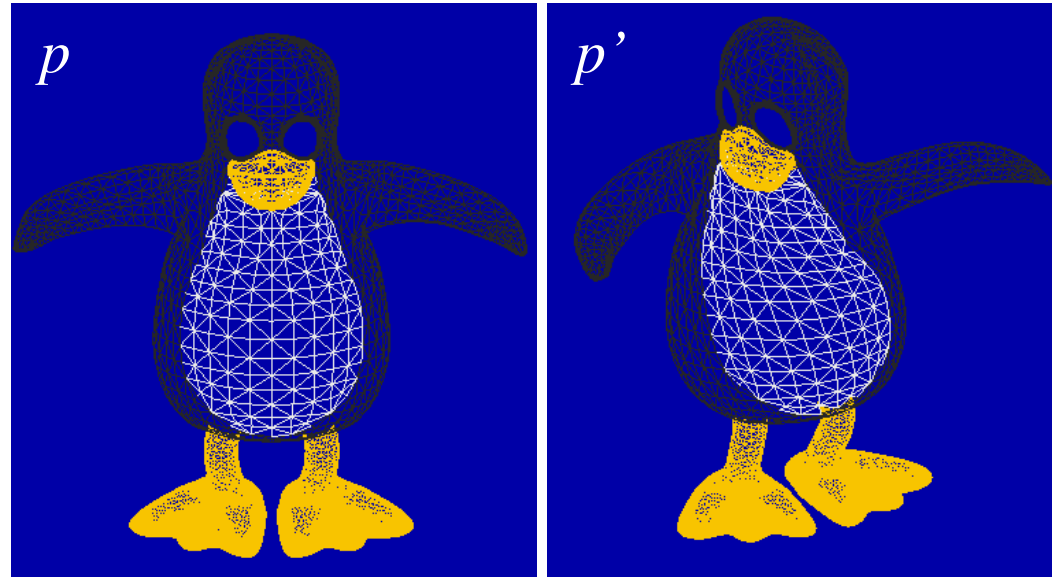
$$p' = \begin{bmatrix} \cos(r(p_z)) & -\sin(r(p_z)) & 0 \\ \sin(r(p_z)) & \cos(r(p_z)) & 0 \\ 0 & 0 & 1 \end{bmatrix} \begin{bmatrix} p_x \\ p_y \\ p_z \end{bmatrix}$$

Vortex

$$r(z) = \begin{cases} 0 & z \leq z_0 \\ \frac{z-z_0}{z_1-z_0} \theta_{\max} & z_0 \leq z \leq z_1 \\ \theta_{\max} & z_1 \leq z \end{cases}$$

$$\alpha(p) = r(p_z) e^{-(p_x^2 + p_y^2)}$$

$$p' = \begin{bmatrix} \cos(\alpha(p)) & -\sin(\alpha(p)) & 0 \\ \sin(\alpha(p)) & \cos(\alpha(p)) & 0 \\ 0 & 0 & 1 \end{bmatrix} \begin{bmatrix} p_x \\ p_y \\ p_z \end{bmatrix}$$



Combinaison

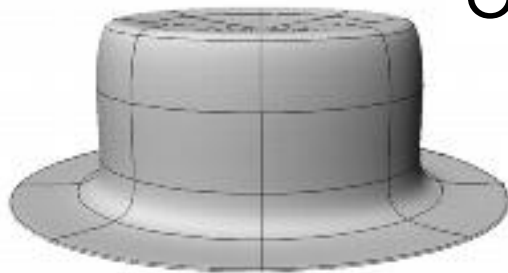
Avantage :

✓ Simple

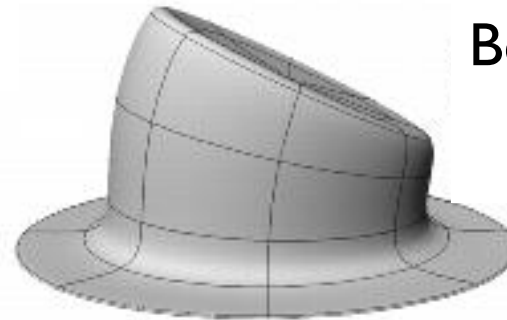
Inconvénients :

✗ pas de contrôle fin des déformations

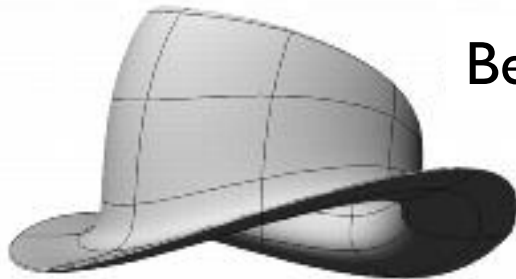
✗ le modèle peut s'auto-intersecter



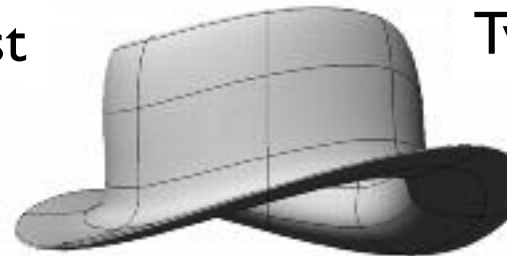
Original



Bend



Bend+Twist



Twist

Free-Form Deformations (FFD)

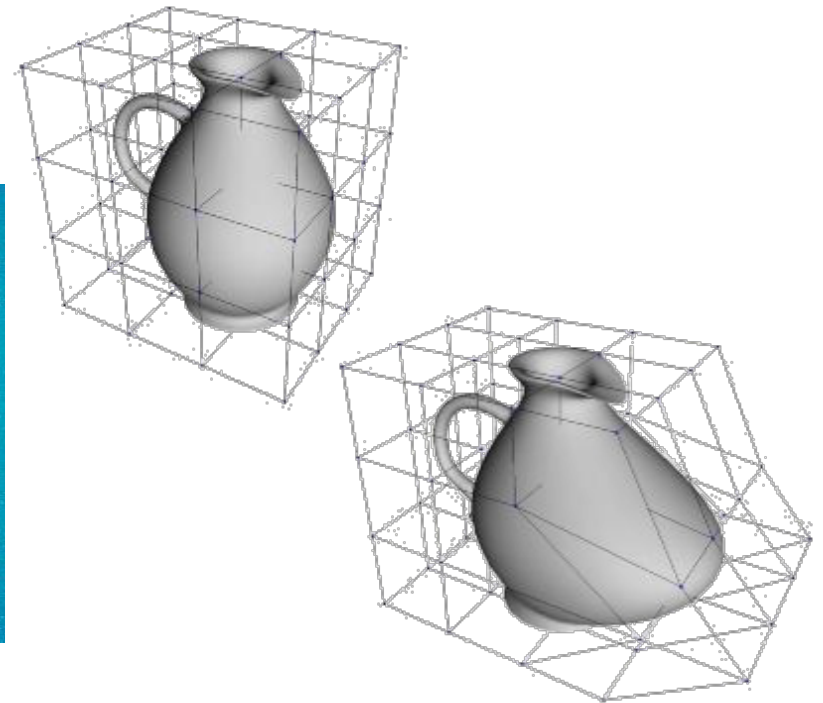
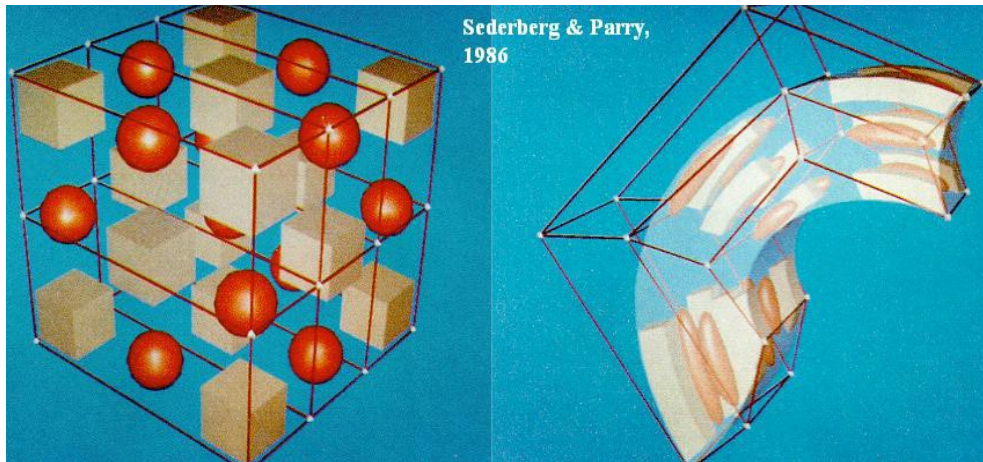
Treillis de points de contrôle (maillage régulier)

le modèle est plongé dans du « caoutchouc » 3D

Déformer le treillis

⇒ l'espace « suit » le maillage

⇒ interpolation dans la grille par Bézier (ou autre)



Free-Form Deformations (FFD)

Grille :

- Origine = q , axes orthogonaux = $(\mathbf{u}, \mathbf{v}, \mathbf{w})$, #cellules = l, m, n
- Points de la grille :

$$g_{ijk} = q + \frac{i}{l} \mathbf{u} + \frac{j}{m} \mathbf{v} + \frac{k}{n} \mathbf{w}$$

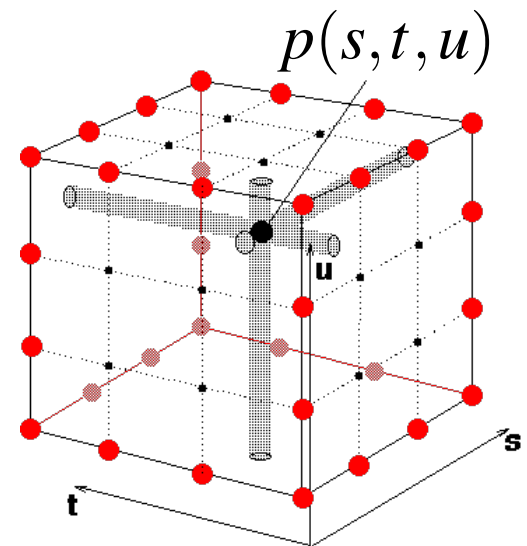
Point p à déformer :

$$p(s, t, u) = q + s\mathbf{u} + t\mathbf{v} + u\mathbf{w}$$

avec : $s = (p - q) \cdot \mathbf{u} / \|\mathbf{u}\|$

$$t = (p - q) \cdot \mathbf{v} / \|\mathbf{v}\|$$

$$u = (p - q) \cdot \mathbf{w} / \|\mathbf{w}\|$$



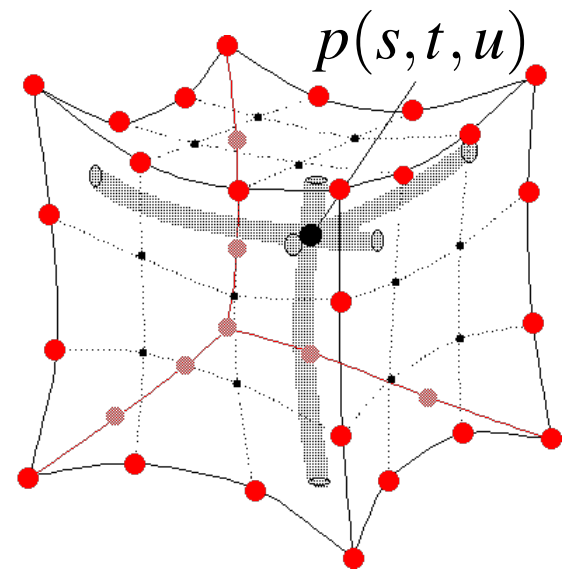
Free-Form Deformations (FFD)

Interpolation

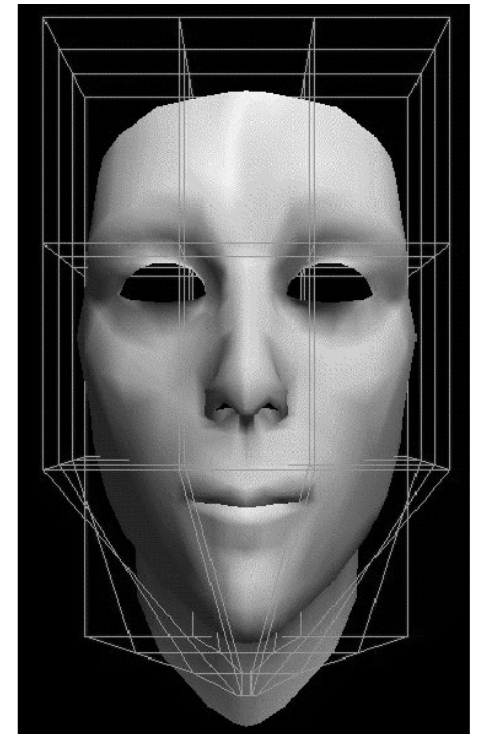
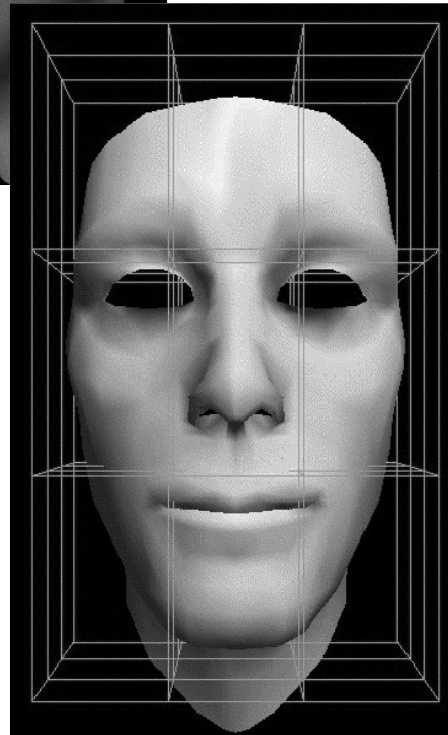
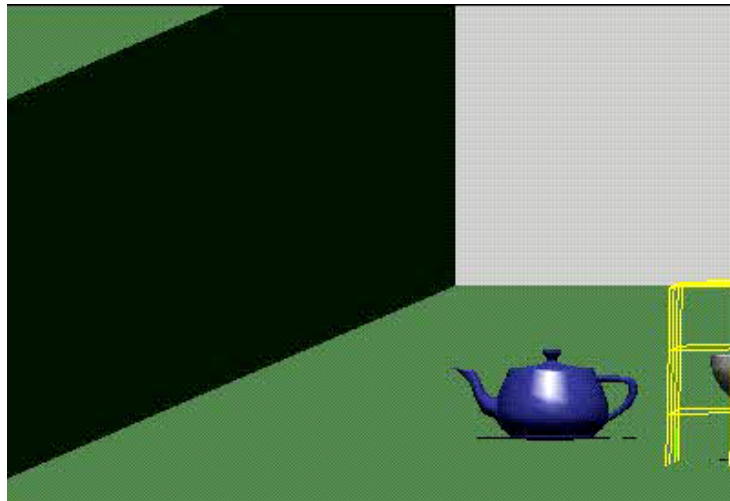
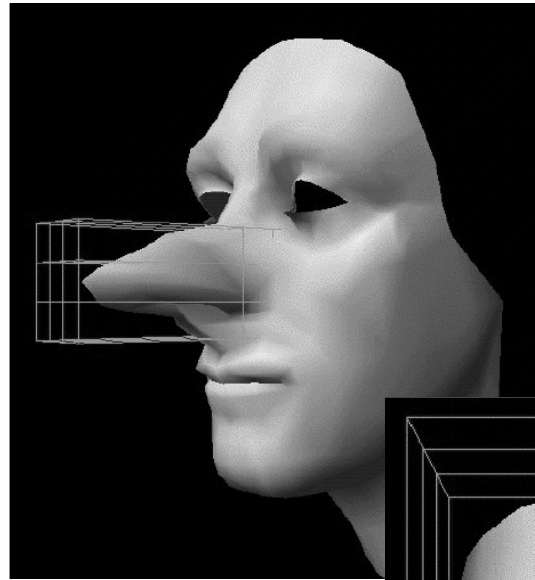
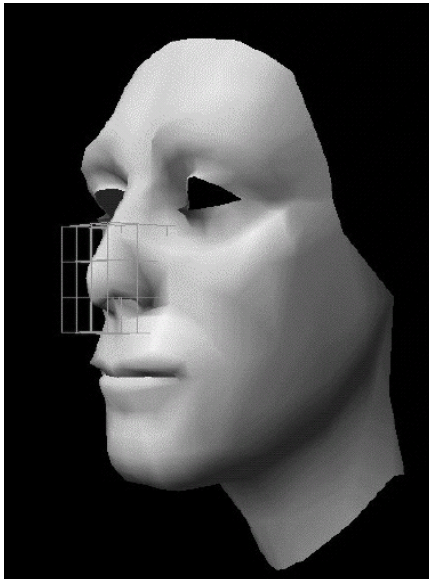
- Points de la grille déplacés en g'_{ijk}
- Interpolation dans la grille par Bézier (ou autre) :

$$p'(s, t, u) = \sum_{i=0}^l \sum_{j=0}^m \sum_{k=0}^n g'_{ijk} B_i^l(s) B_j^m(t) B_k^n(u)$$

$$\text{avec } B_i^l(s) = \binom{l}{i} s^i (1-s)^{l-i}$$



Free-Form Deformations (FFD)



Blend shapes

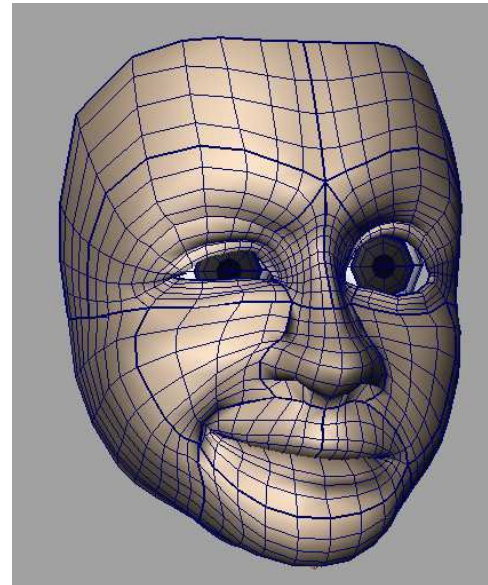
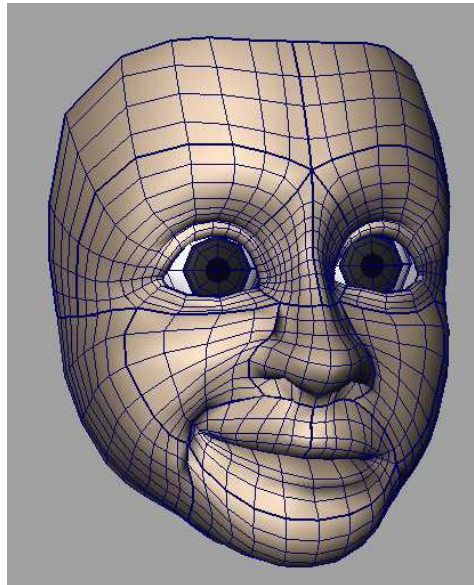
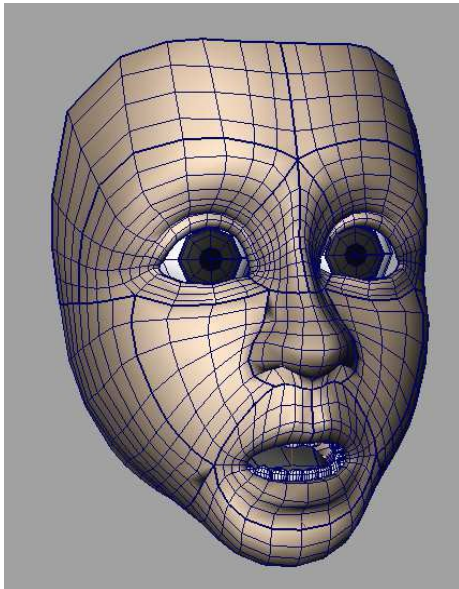
Interpolation de **formes clés**

- Interpolation linéaire de la position des sommets

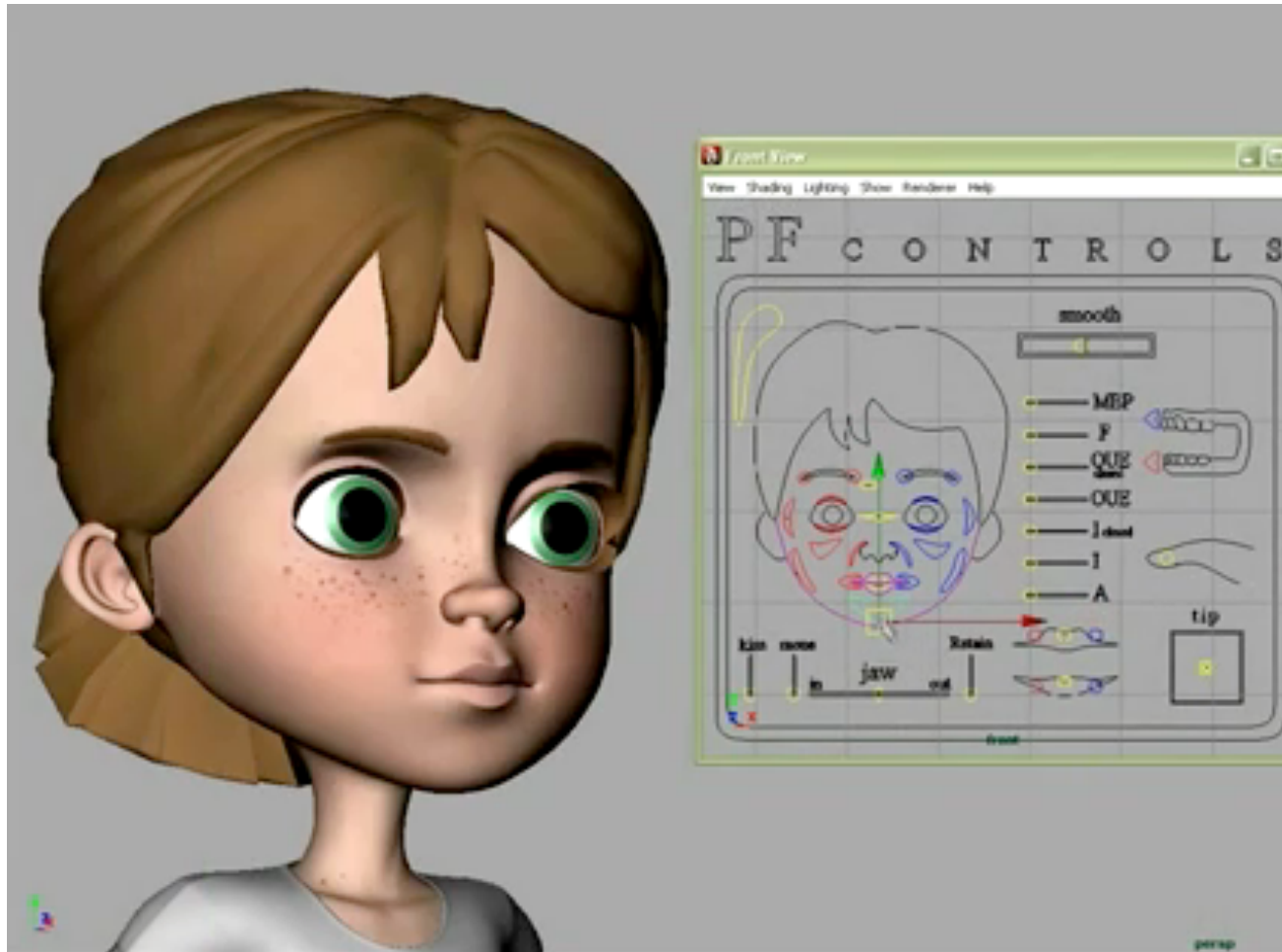
$$p' = p_0 + \sum_i w_i (p_i - p_0)$$

- Contrôle de l'animation par les poids w_i

Surtout pour l'**animation faciale**



Blend Shapes (198 expressions)



Remy Terreaux